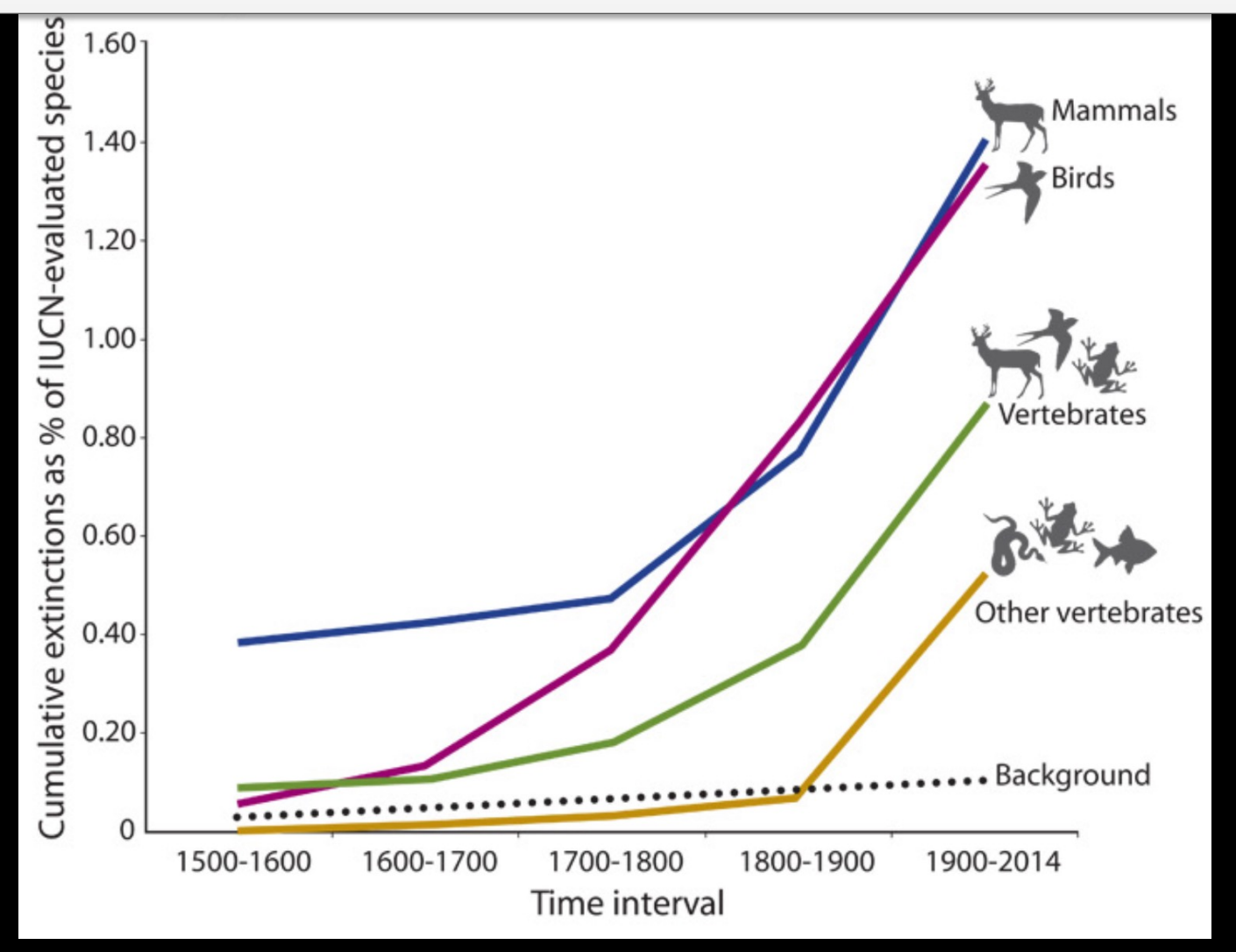
L'érosion de la biodiversité microbienne



Benoît Perez-Lamarque

Mercredi 9 Octobre 2024, Chaire MMB benoit.perez-lamarque@univ-tlse3.fr
Maître de conférences, CRBE, Université de Toulouse III

Vers une sixième crise d'extinction de masse

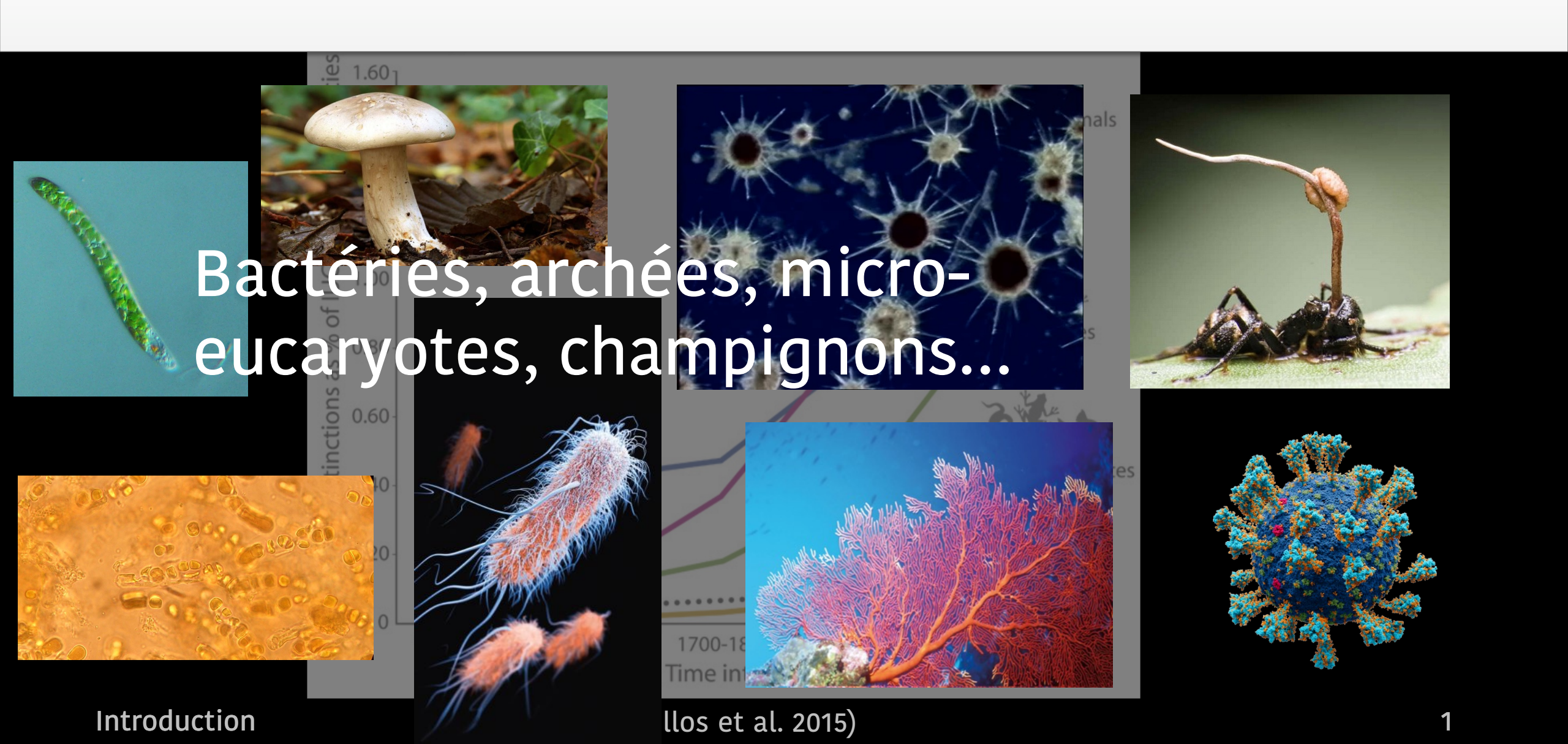


→ Principalement quantifiée à partir des vertébrés (et des plantes)

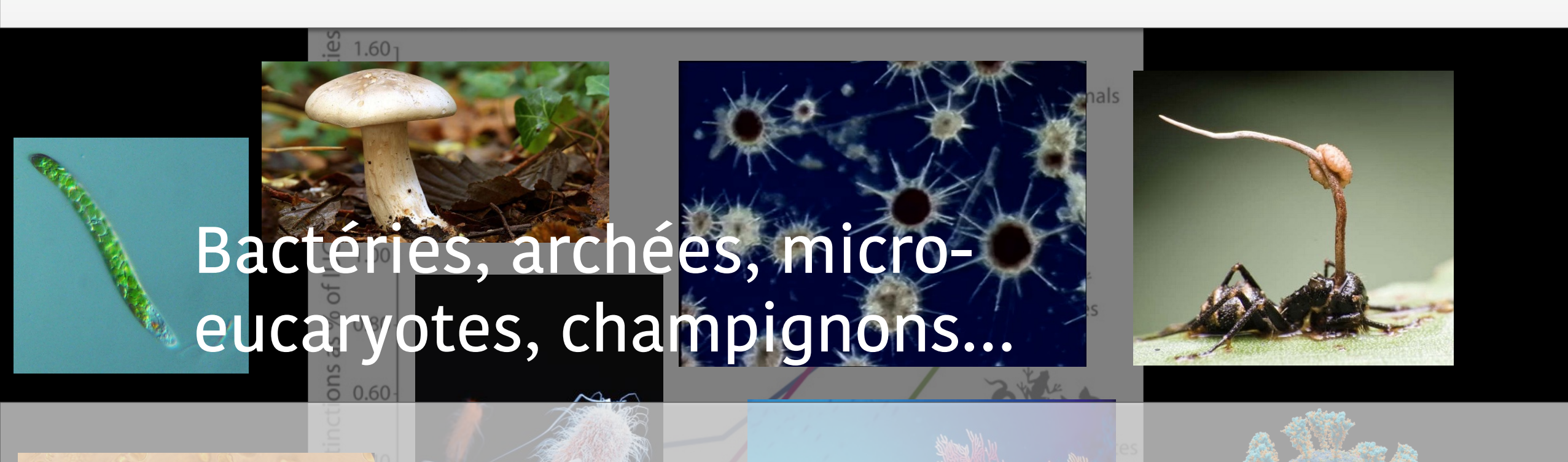
Introduction

(Ceballos et al. 2015)

Vers une sixième crise d'extinction de masse



Vers une sixième crise d'extinction de masse



Qu'en est-il de la biodiversité microbienne ?

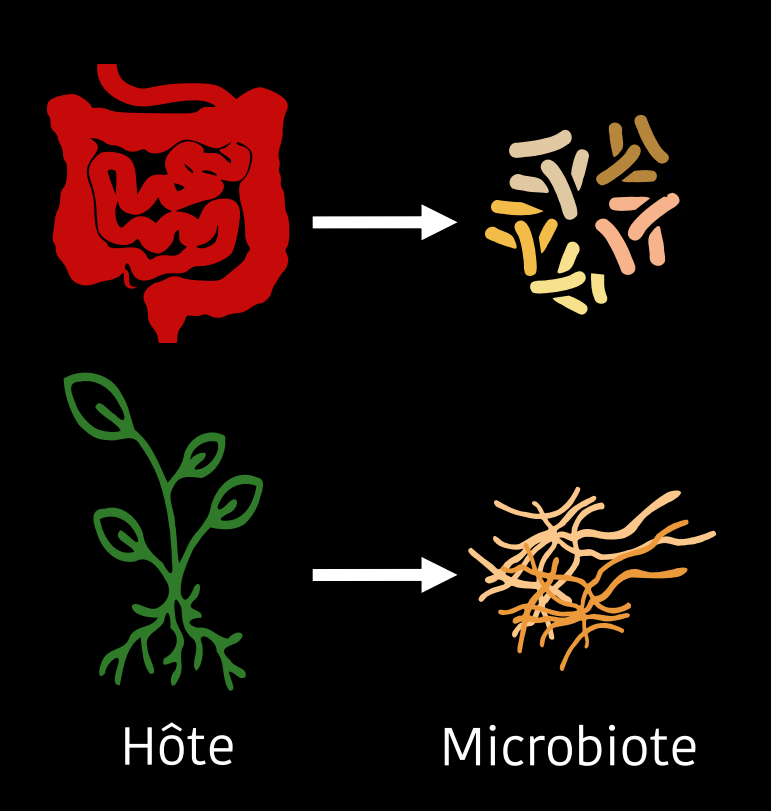
Documenter la dynamique de la biodiversité microbienne

Trois limitations principales:

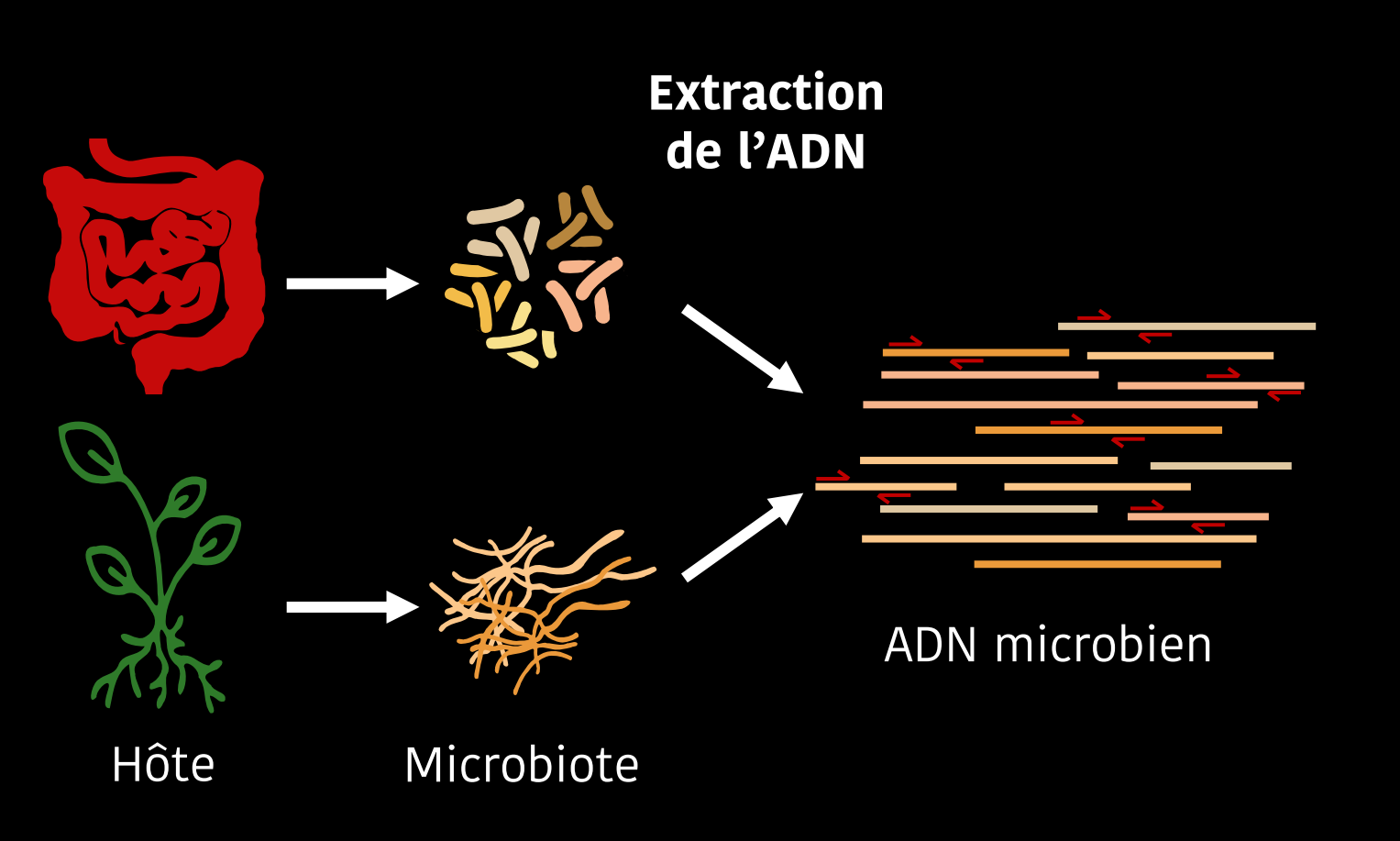
Documenter la dynamique de la biodiversité microbienne

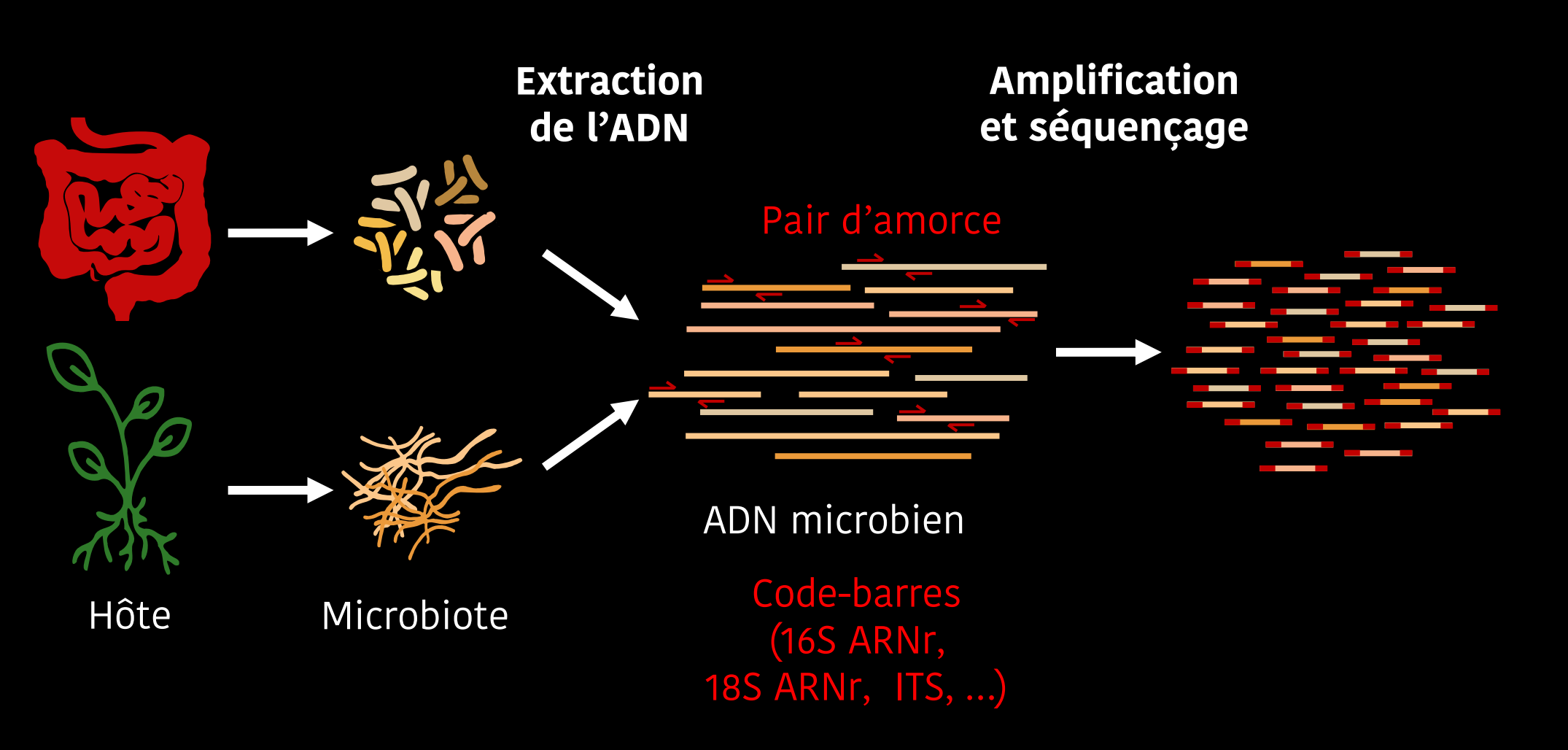
Trois limitations principales:

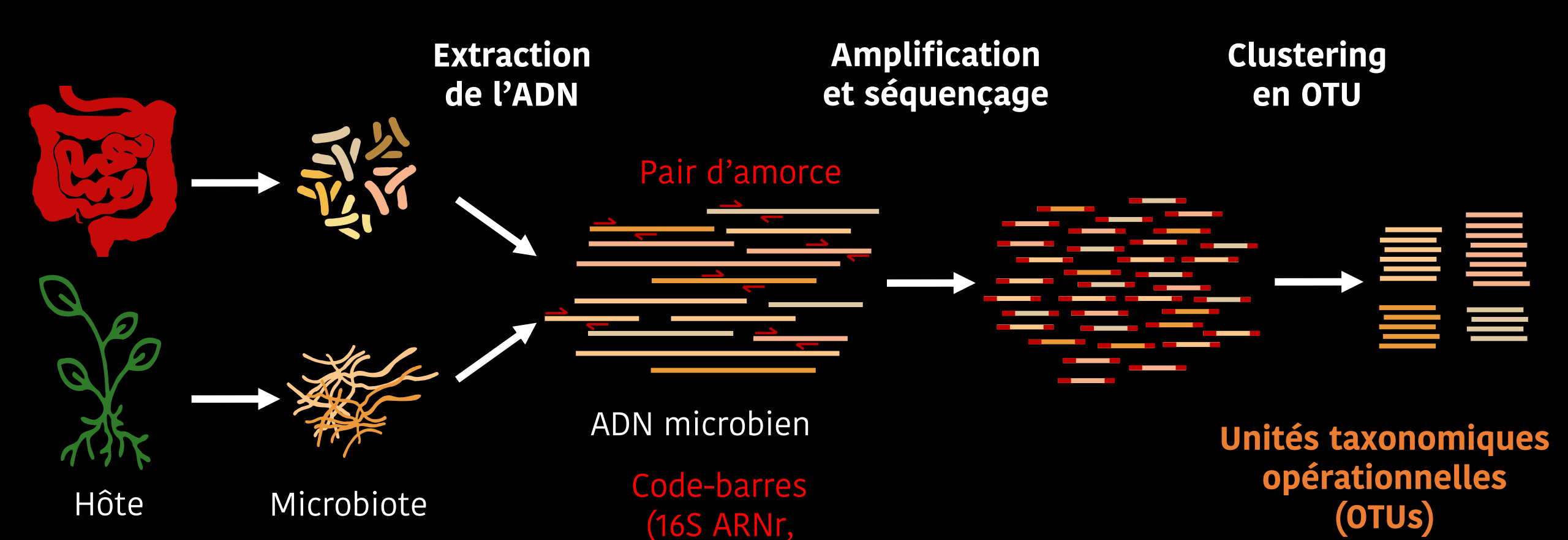
1) Incertitude dans la délimitation d'espèce



Introduction (Zinger et al. 2019)







18S ARNr, ITS, ...)

Introduction (Zinger et al. 2019)

e.g. seuil arbitraire

de 97%

Documenter la dynamique de la biodiversité microbienne

Trois limitations principales:

- 1) Incertitude dans la délimitation d'espèce
- 2) Absence d'estimation fiable de la diversité totale

Absence d'estimation fiable de la diversité totale

→ "...We estimate that there exist globally between 0.8 and 1.6 million prokaryotic OTUs" (Louca et al., 2019, PLOS Biology)

Absence d'estimation fiable de la diversité totale

→ "...We estimate that there exist globally between 0.8 and 1.6 million prokaryotic OTUs" (Louca et al., 2019, PLOS Biology)

→ "Reanalyses suggest that bacterial richness [...] is more likely in the hundreds of millions or billions"

(Wiens, 2021, PLOS Biology)

Documenter la dynamique de la biodiversité microbienne

Trois limitations principales:

- 1) Incertitude dans la délimitation d'espèce
- 2) Absence d'estimation fiable de la diversité totale
- 3) Manque de mesures de la diversité passée

Manque de mesures de la diversité passée

Les fossiles microbiens ne permettent pas d'assigner des espèces



(Kerp et al. 2017)

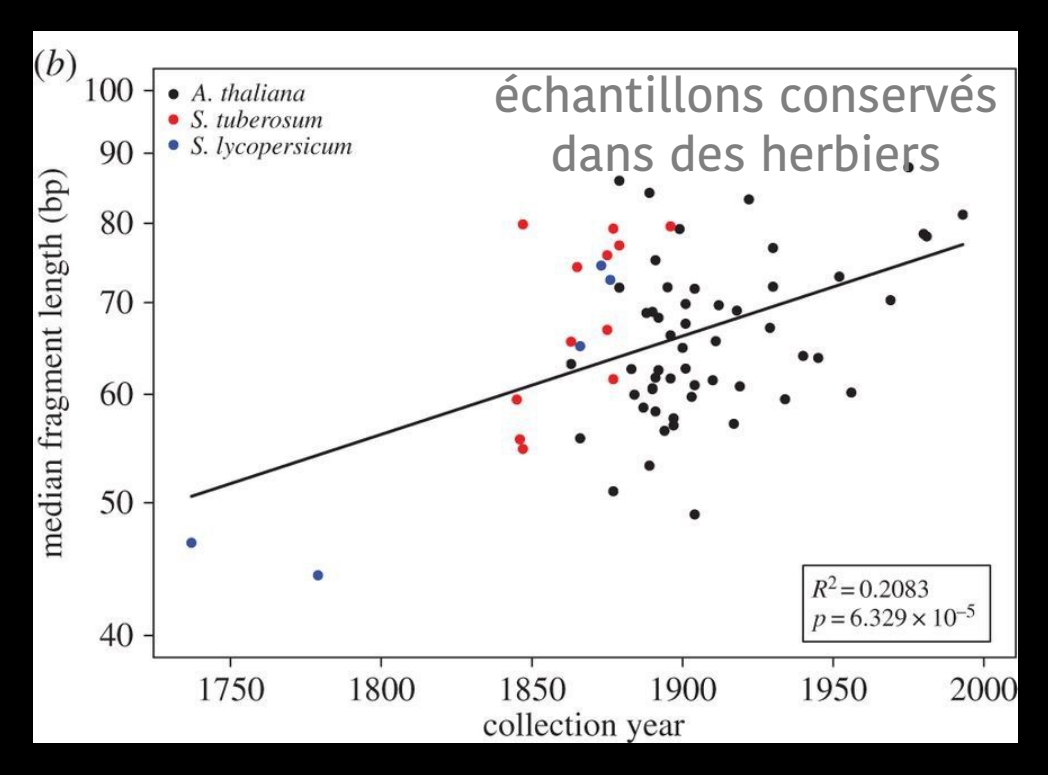
Introduction

Manque de mesures de la diversité passée

Les fossiles microbiens ne permettent pas d'assigner des espèces



Rapide dégradation de l'ADN



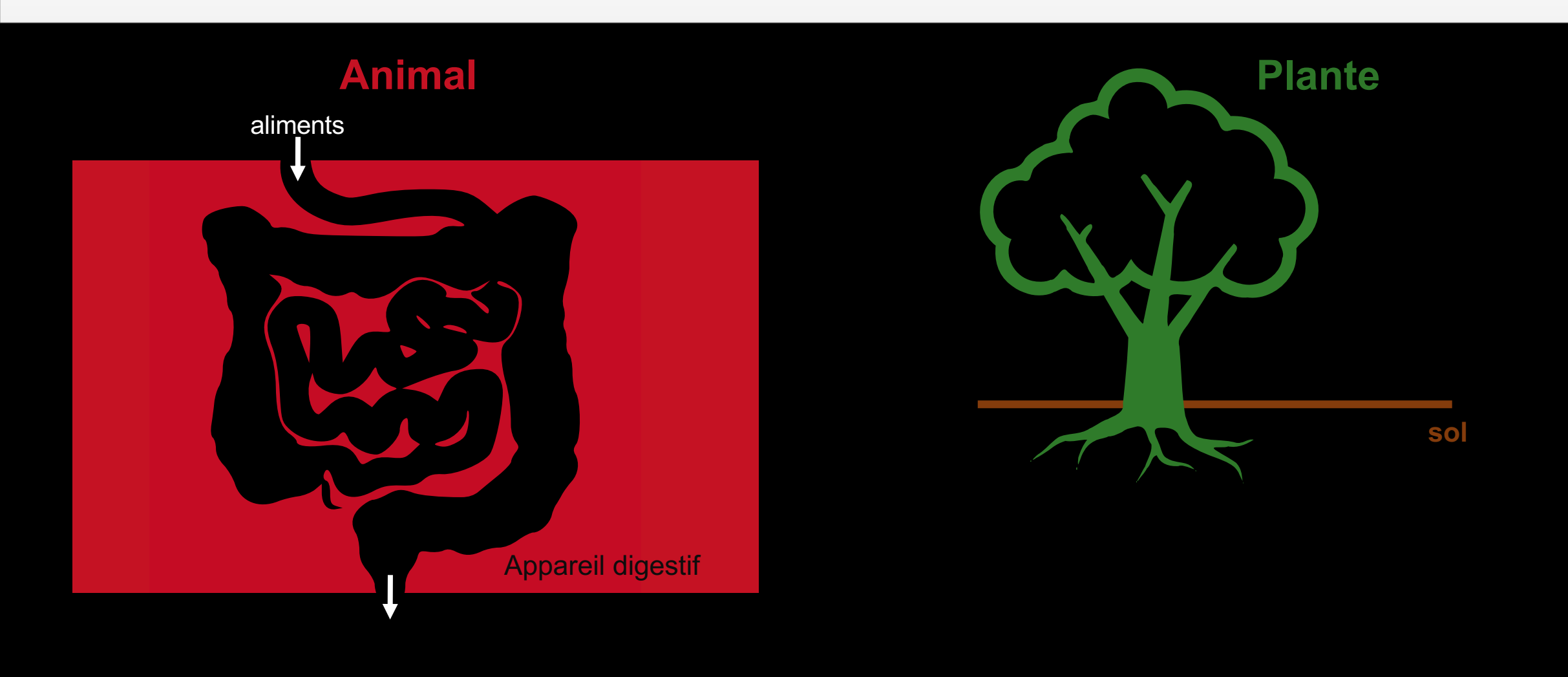
(Kerp et al. 2017)

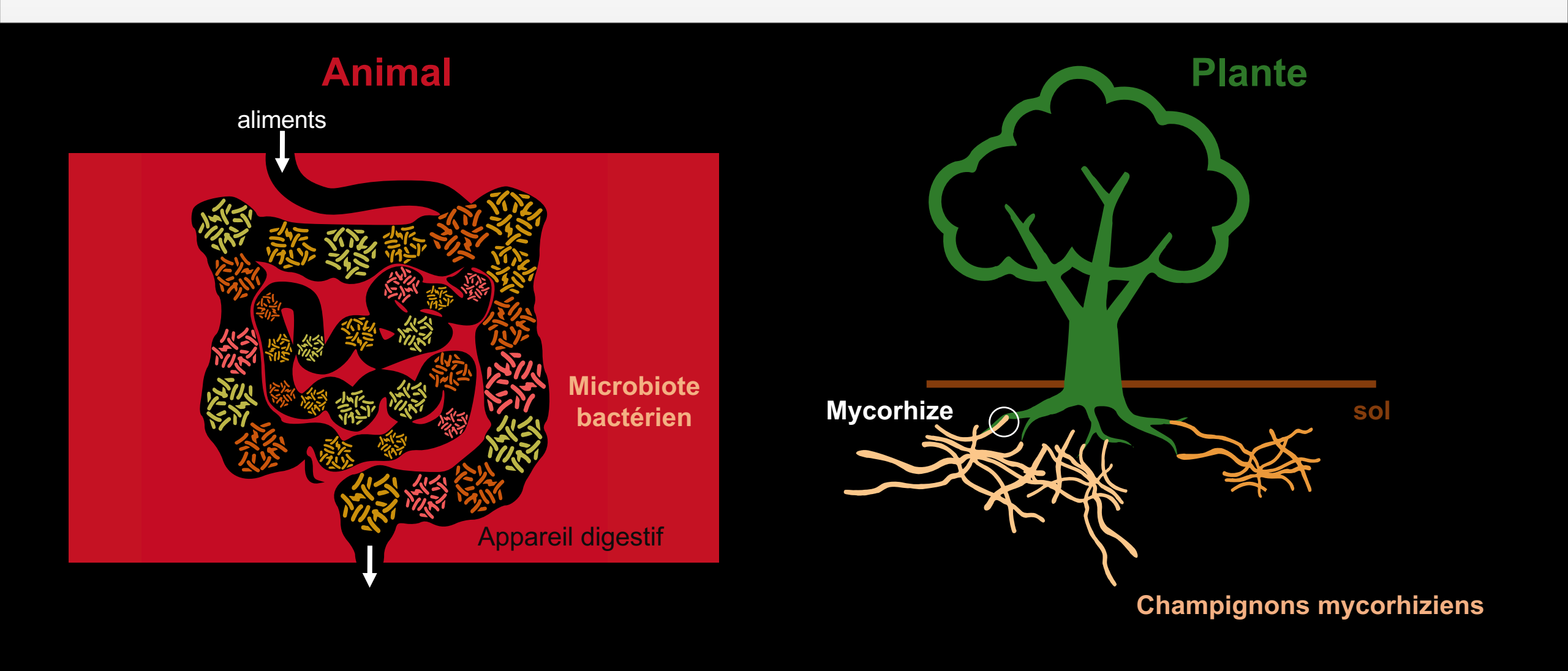
(Weiß et al. 2016)

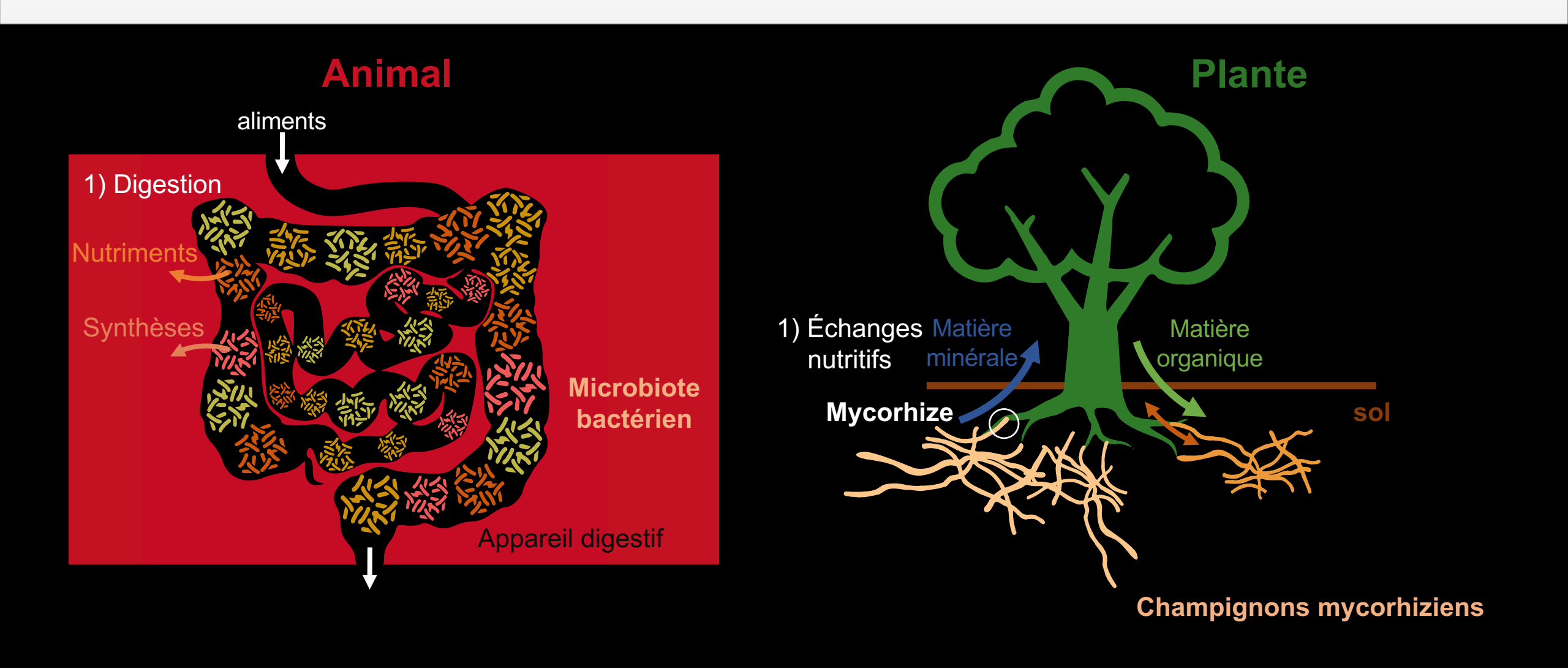
Documenter la dynamique de la biodiversité microbienne

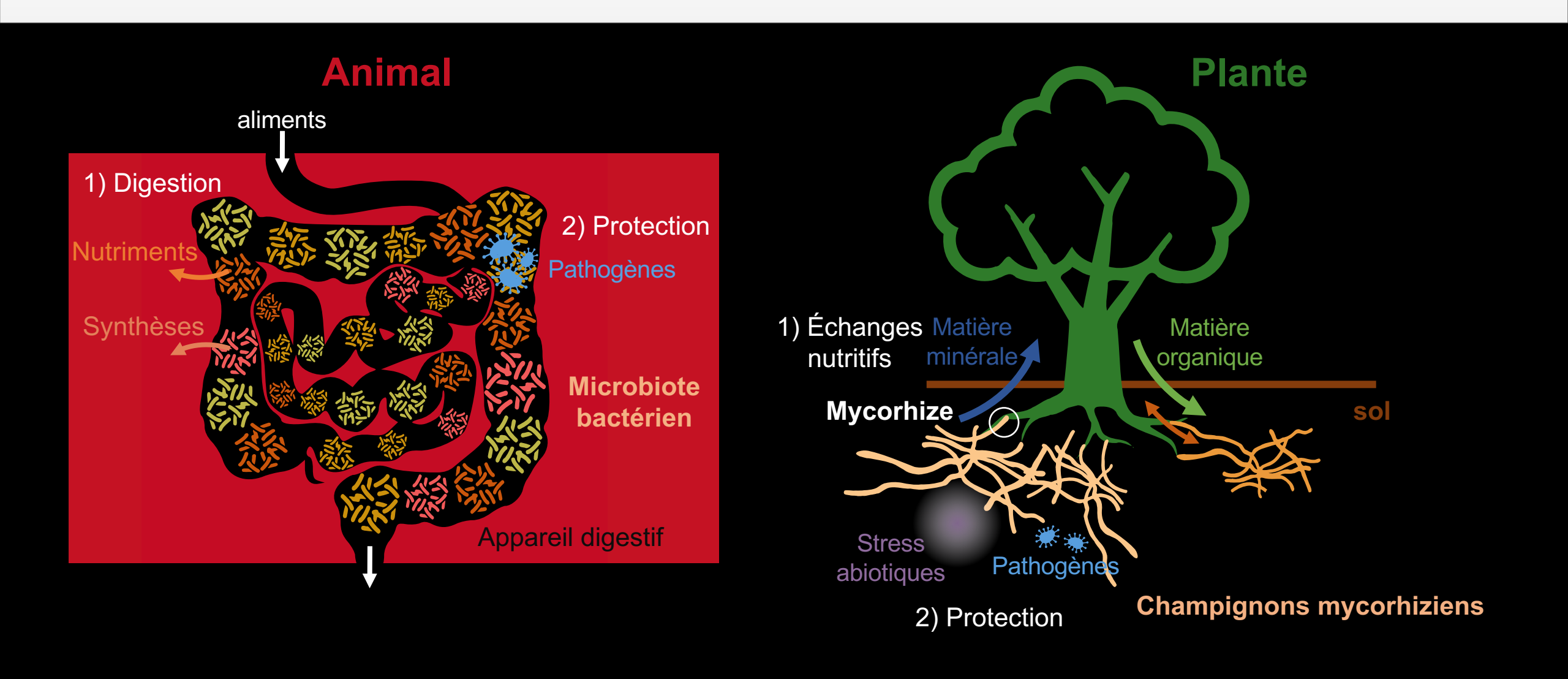
Deux approches pour avoir une idée des dynamiques de diversité de communautés microbiennes :

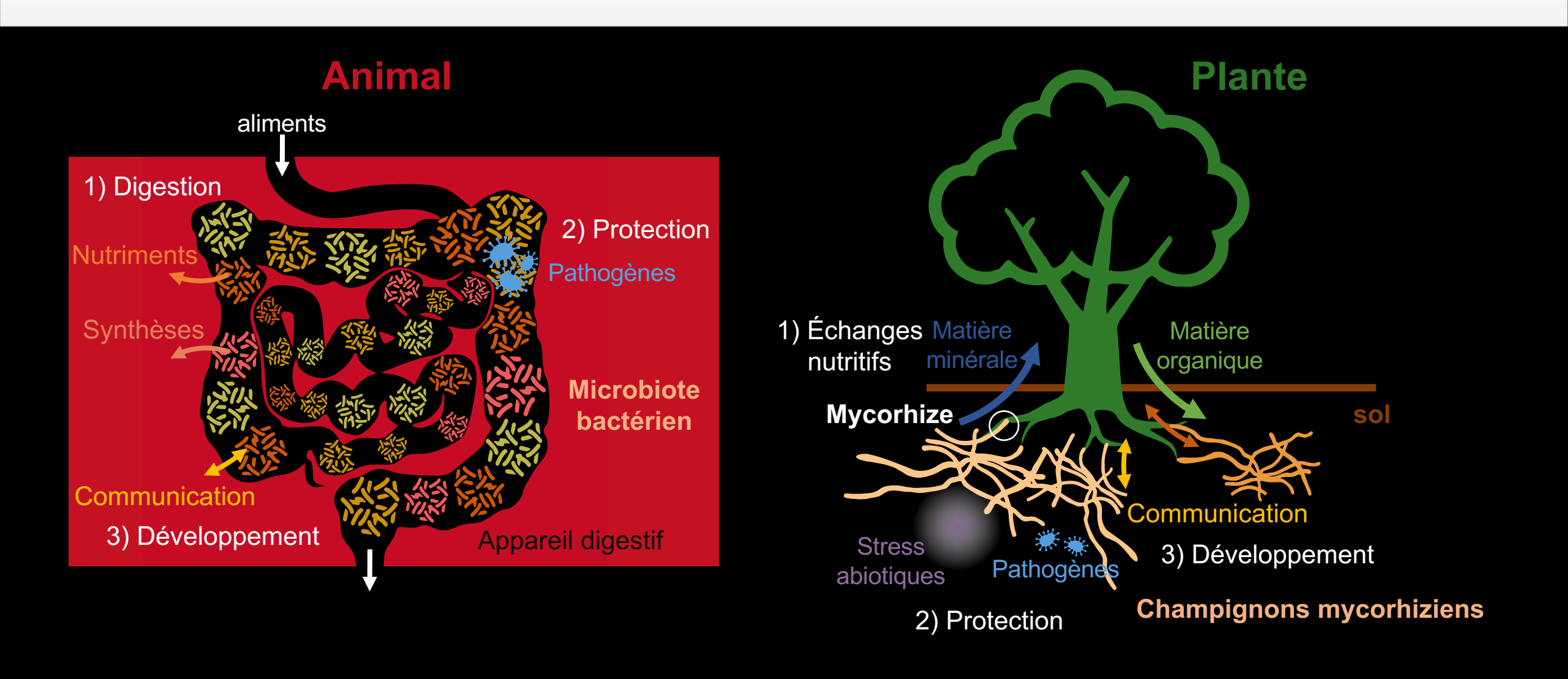
- → Dans les <u>microbiotes associés à des hôtes</u> (animaux ou végétaux)
- → Dans les <u>communautés microbiennes « libres »</u> de l'environnement



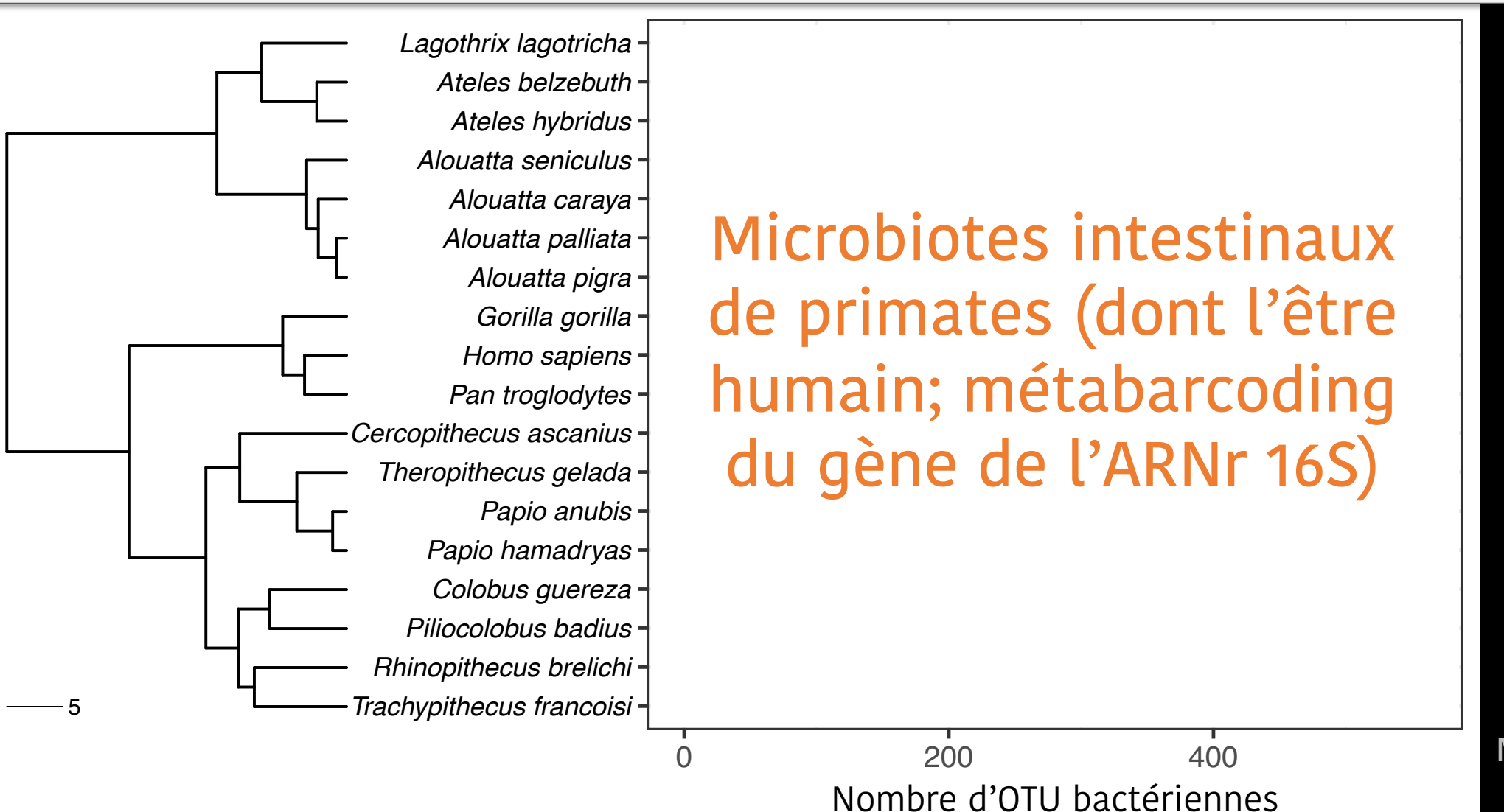




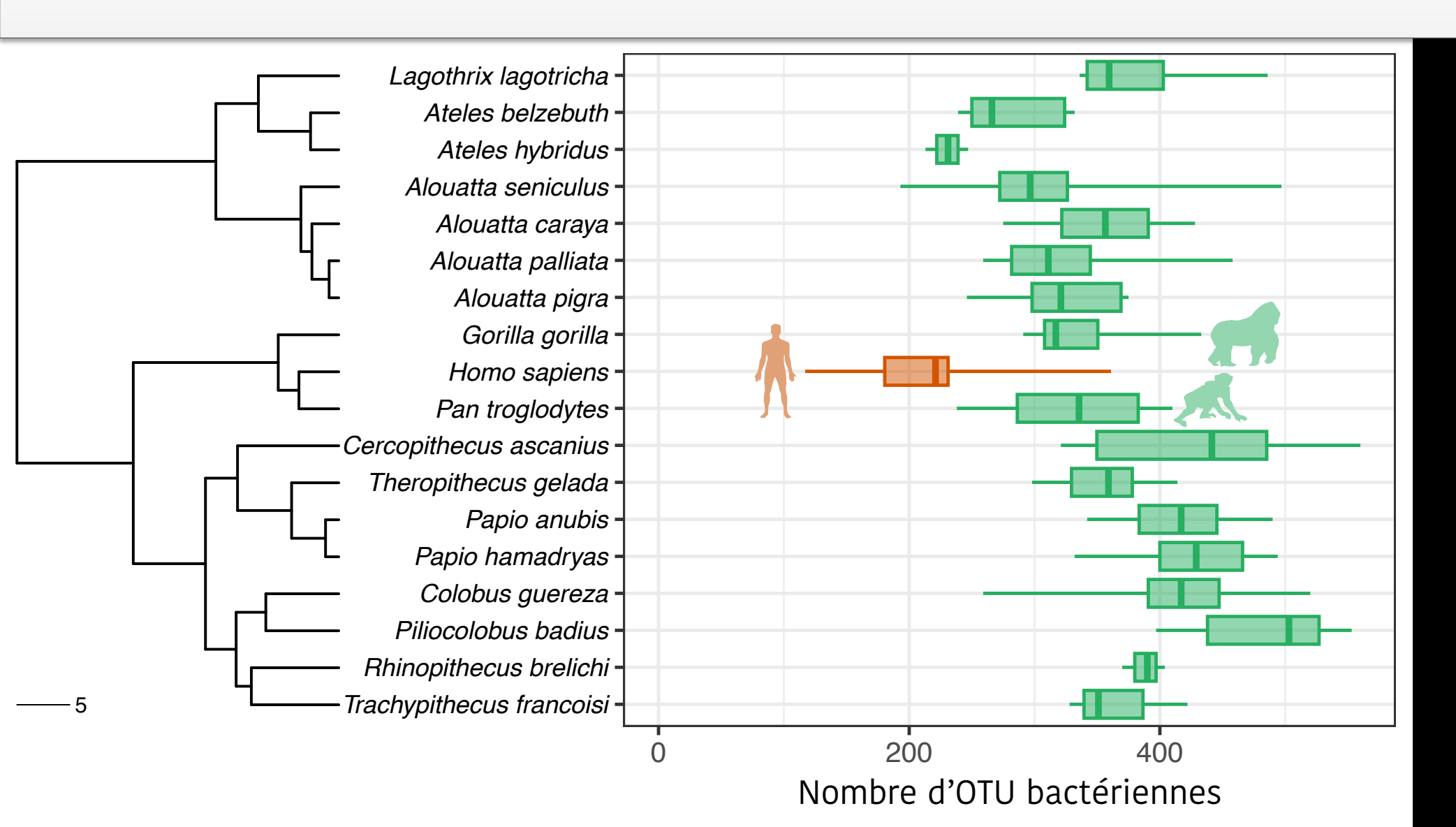




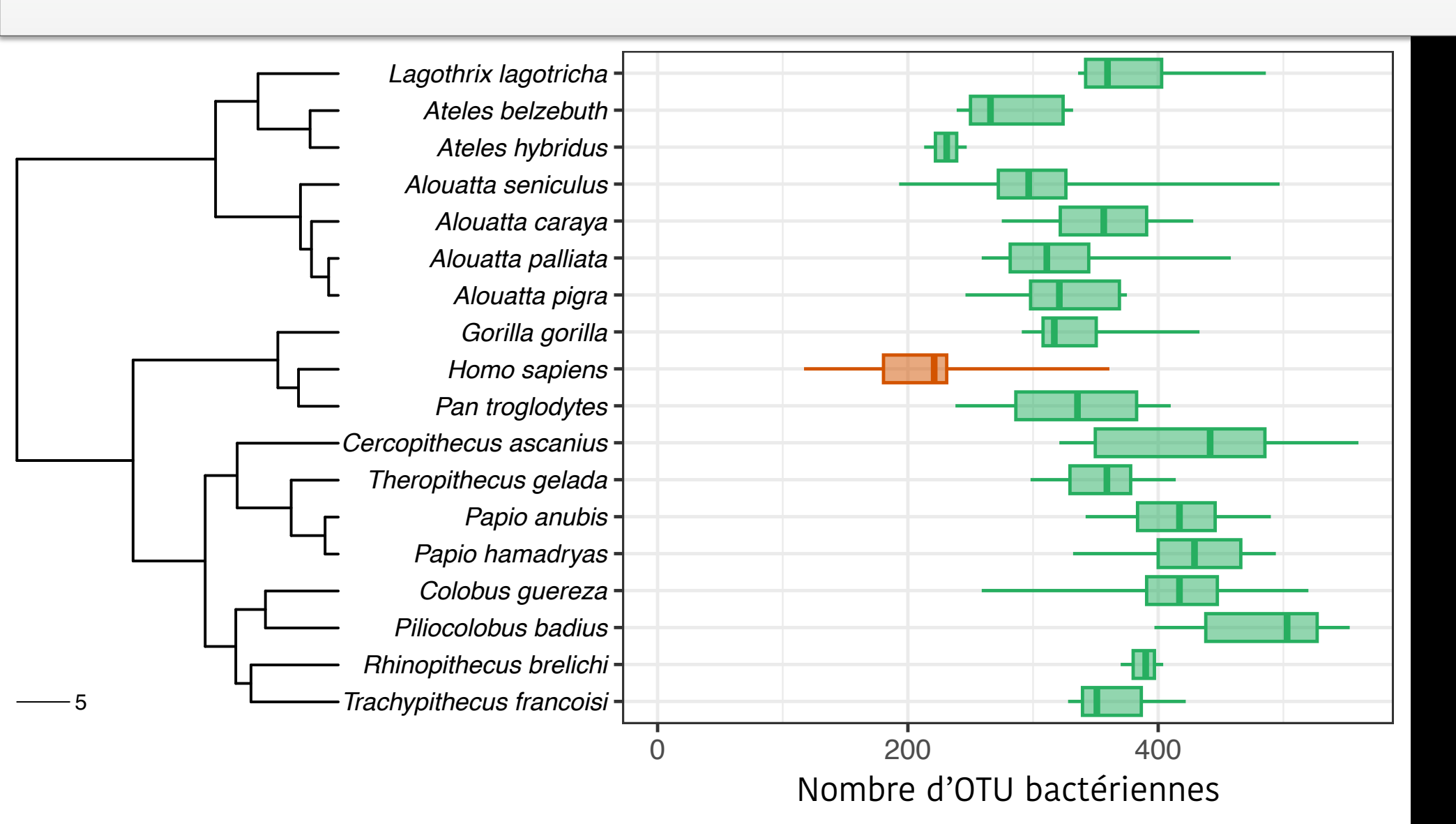








→ L'être humain présente un microbiote intestinal appauvri

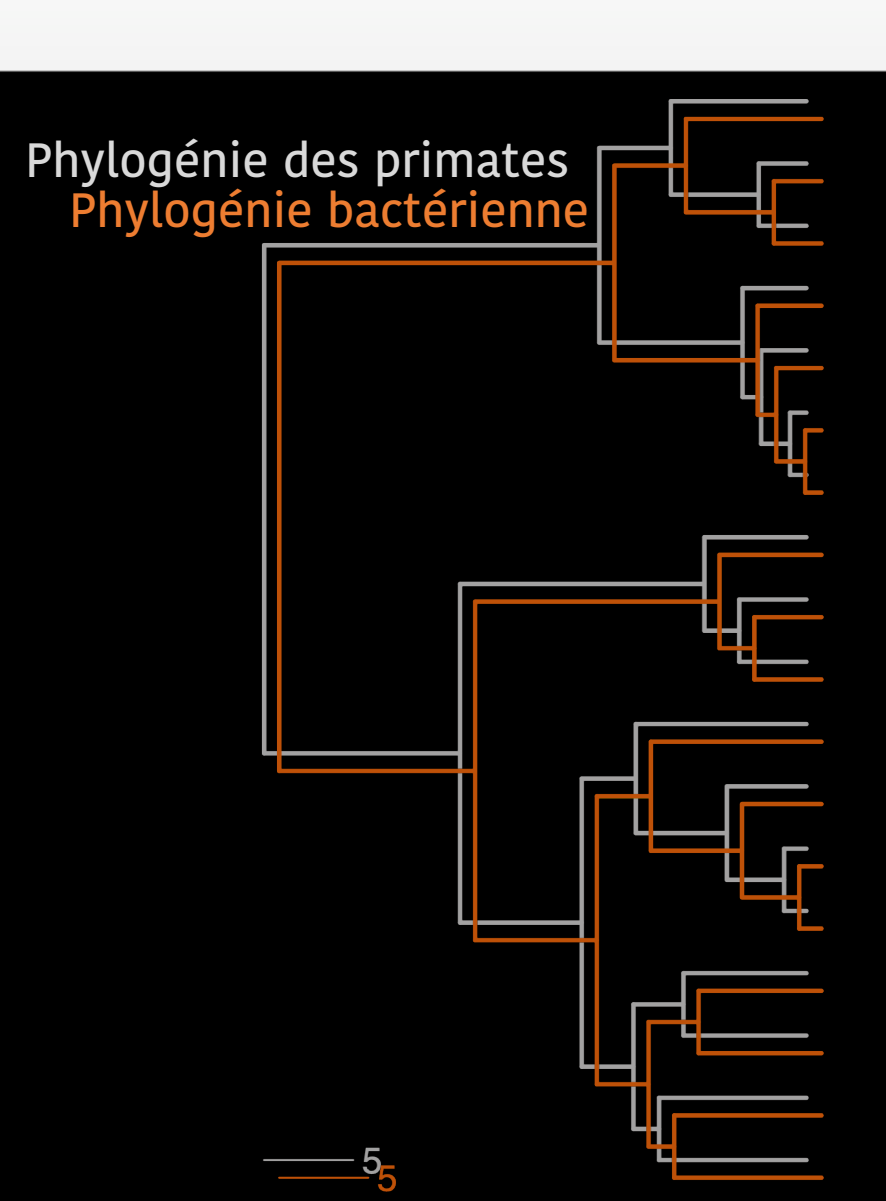


→ L'être humain présente un microbiote intestinal appauvri

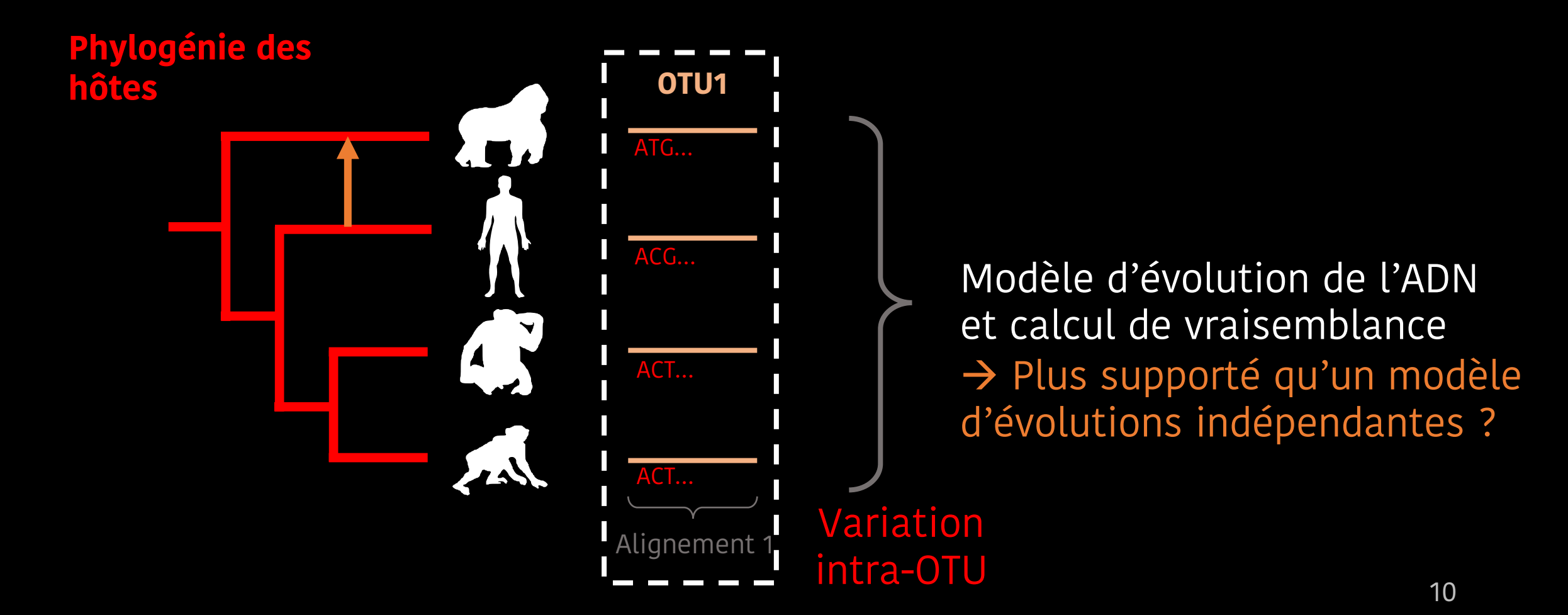
→ bactéries en transit ?

Des interactions évolutivement conservées et spécifiques ?

→ transmission verticale sur le long terme ?



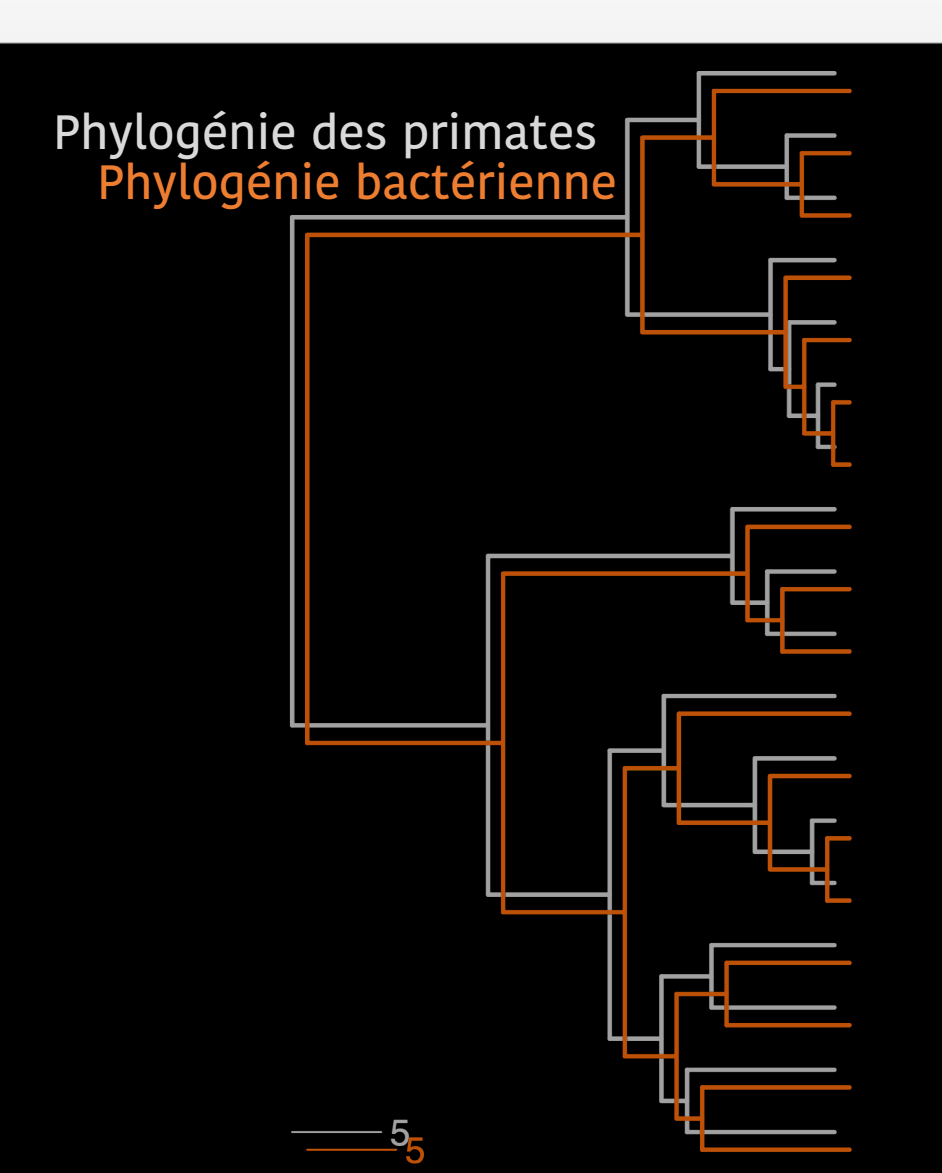
Modèle de transmission verticale avec transferts horizontaux



Entre 5% et 10% des bactéries intestinales des primates sont transmises verticalement (arbres phylogénétiques concordants)

(Perez-Lamarque & Morlon, 2019, 2022)

→ symbiose sur le long terme

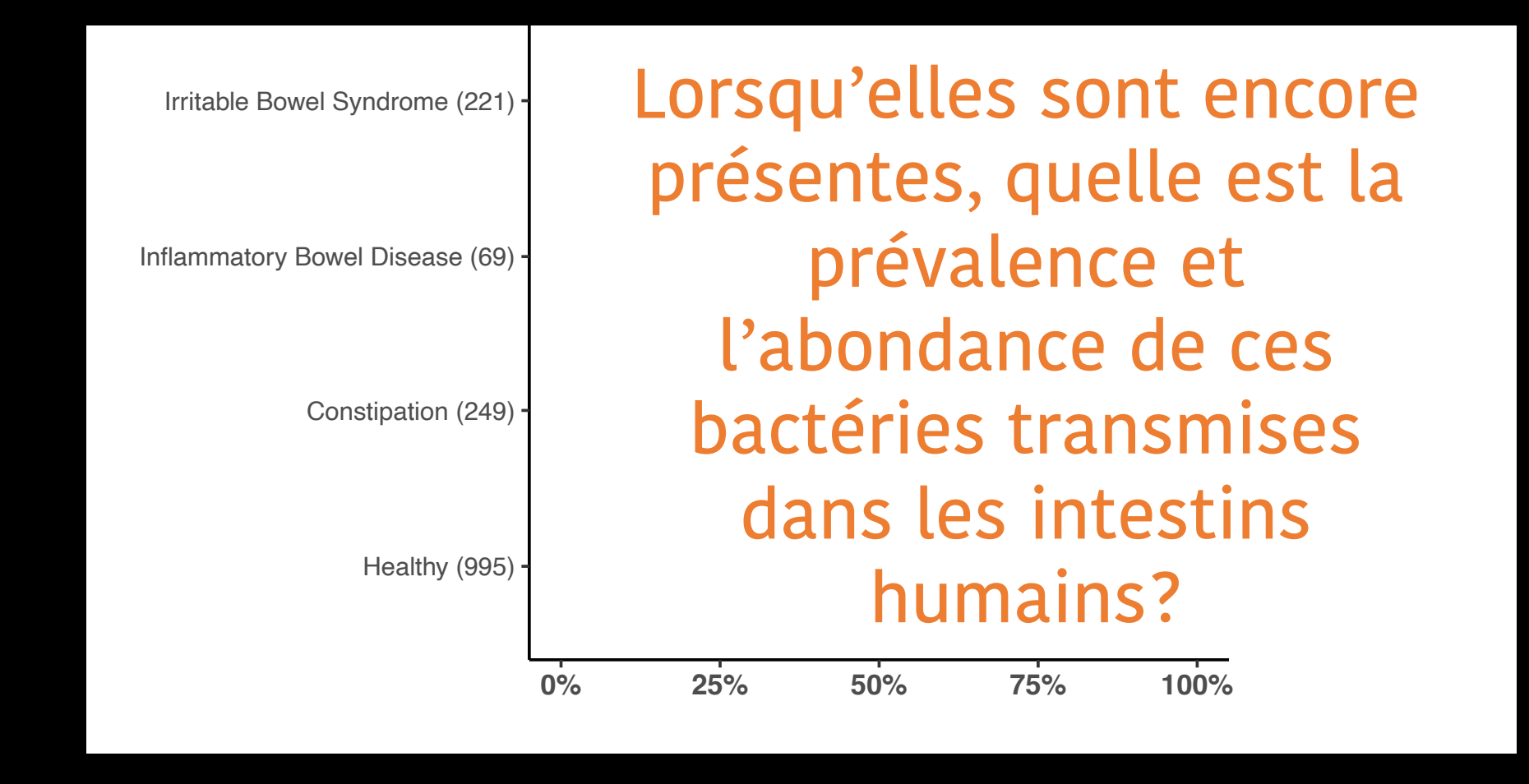


Entre 5% et 10% des bactéries intestinales des primates sont transmises verticalement (arbres phylogénétiques concordants)

(Perez-Lamarque & Morlon, 2019, 2022)

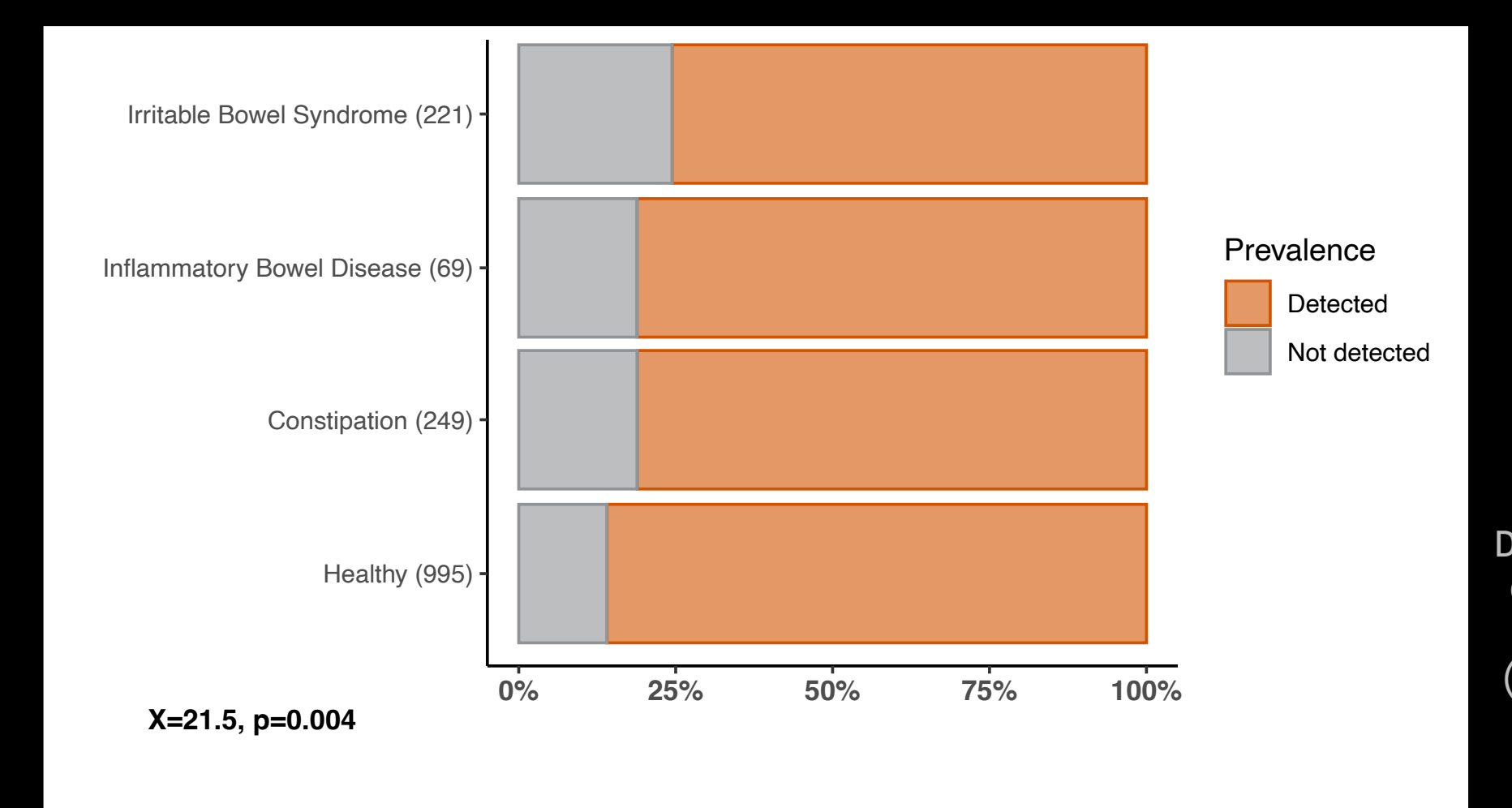
>25% des bactéries transmises chez les primates ont été définitivement perdues chez l'être humain (extinctions bactériennes)

→ symbiose sur le long terme



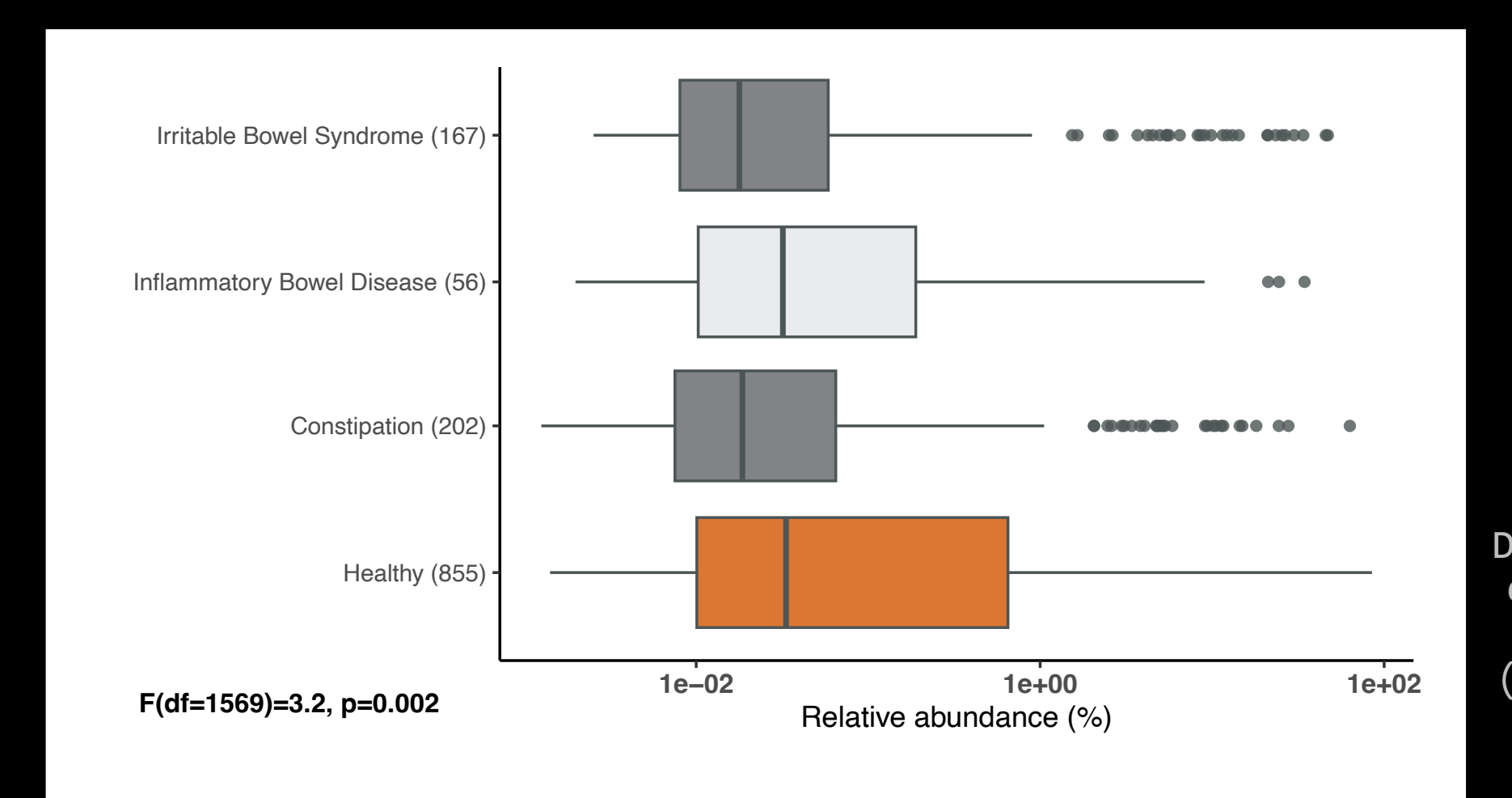
Données issues de l'American Gut Project (MacDonald et al. 2018)

Corrélation avec des maladies non-infectieuses (e.g. Prevotella copri)



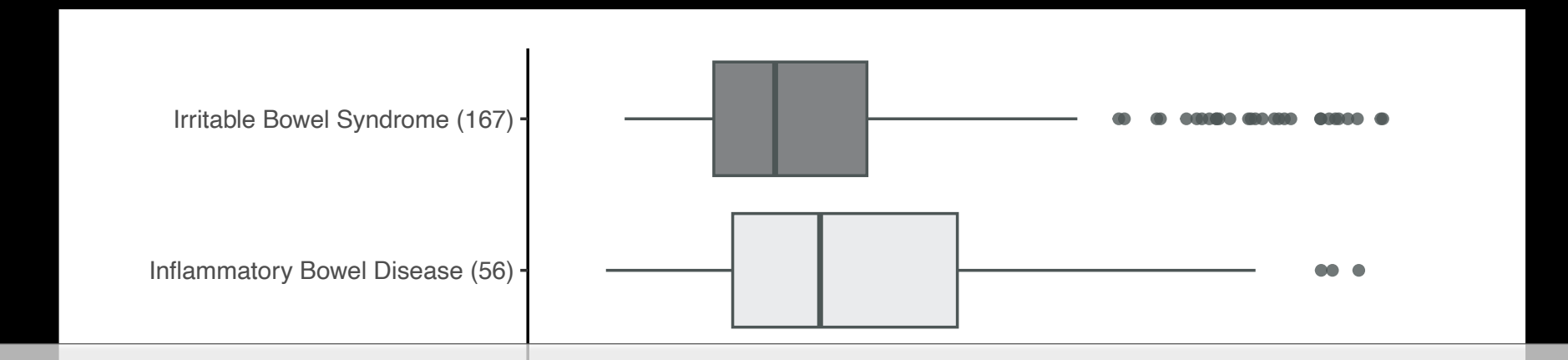
Données issues de l'American Gut Project (MacDonald et al. 2018)

Corrélation avec des maladies non-infectieuses (e.g. Prevotella copri)



Données issues de l'American Gut Project (MacDonald et al. 2018)

Corrélation avec des maladies non-infectieuses (e.g. Prevotella copri)



Corrélation entre la perte de ces symbiontes ancestraux et des maladies

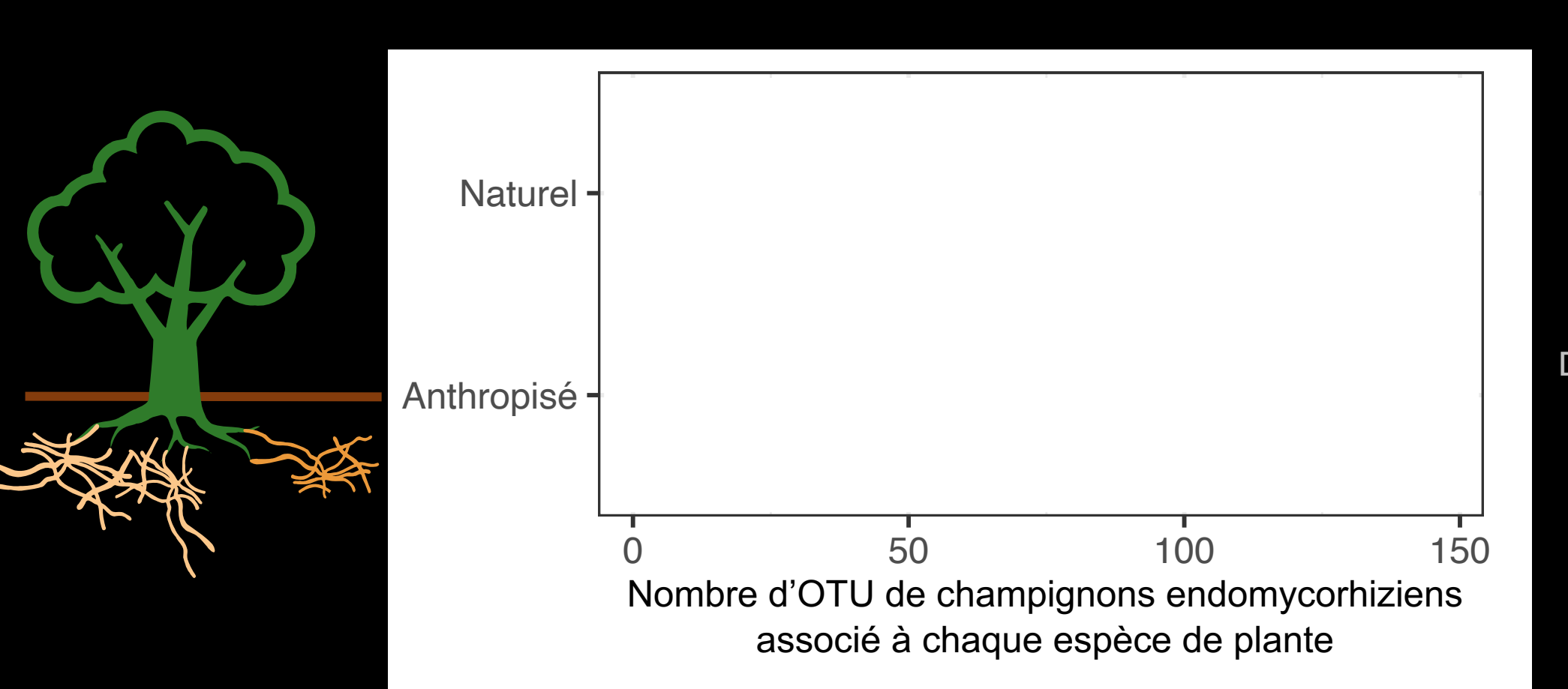
émergentes

F(df=1569)=3.2, p=0.002

Relative abundance (%)

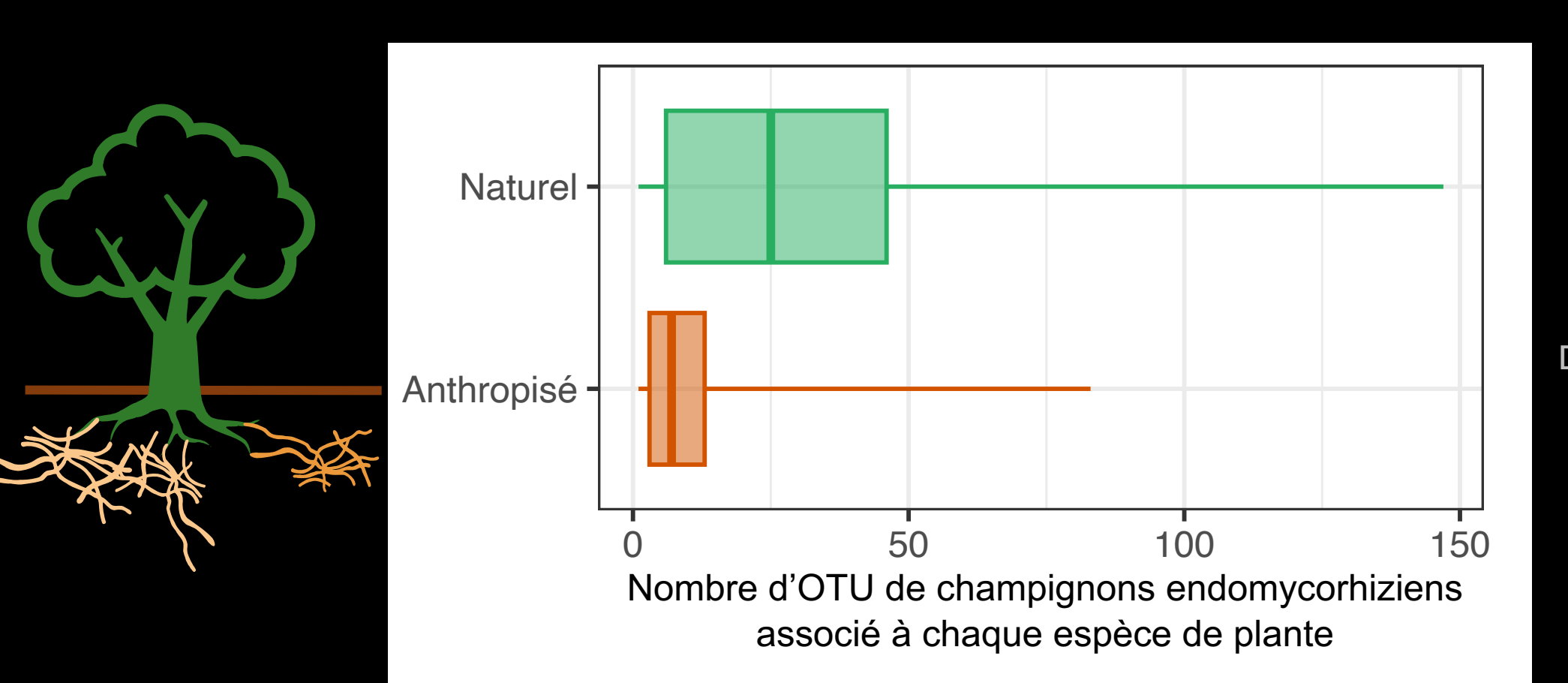
de l'American Gut Project MacDonald et al. 2018)

Microbiote mycorhizien des racines des plantes :



Données issues de la base de données MaarjAM d'interactions plantes-Glomeromycotina (Öpik et al. 2010)

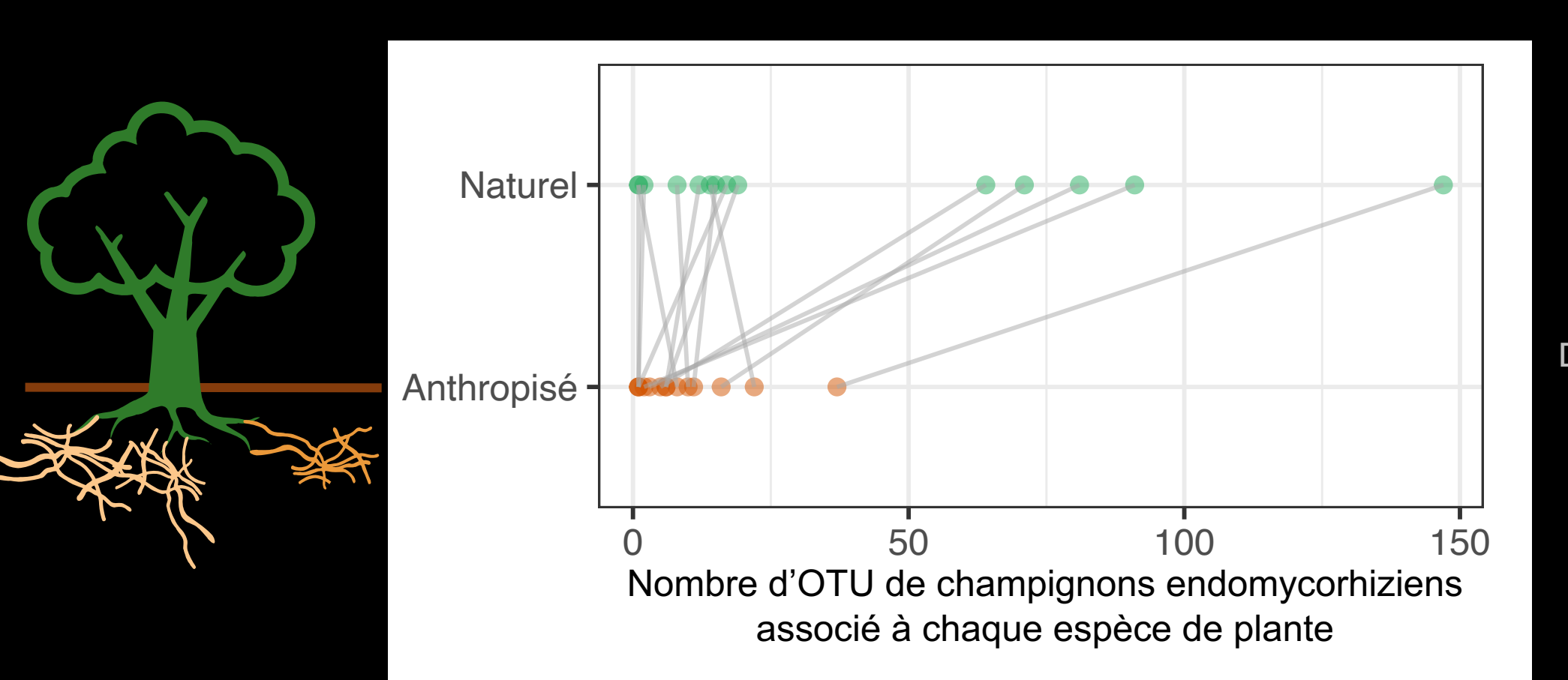
Patrons similaires dans les racines des plantes :



Données issues de la base de données MaarjAM d'interactions plantes-Glomeromycotina (Öpik et al. 2010)

Microbiotes associés à des hôtes

Patrons similaires dans les racines des plantes :



Données issues de la base de données MaarjAM d'interactions plantes-Glomeromycotina (Öpik et al. 2010)

Documenter la dynamique de la biodiversité microbienne

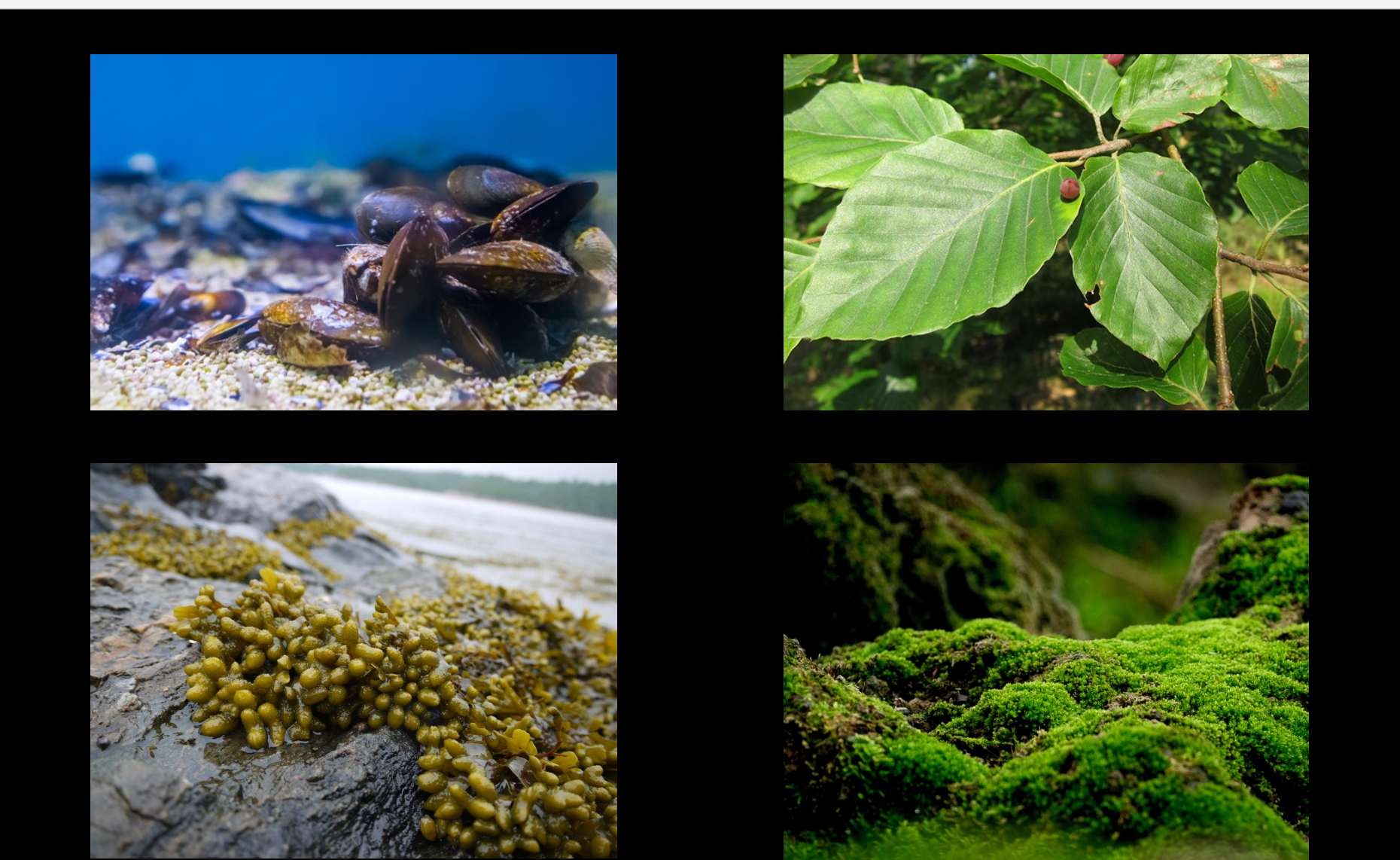
Deux approches pour avoir une idée des dynamiques de diversité de communautés microbiennes :

→ Dans les <u>microbiotes associés à des hôtes</u> (animaux ou végétaux)

Documenter la dynamique de la biodiversité microbienne

Deux approches pour avoir une idée des dynamiques de diversité de communautés microbiennes :

- → Dans les <u>microbiotes associés à des hôtes</u> (animaux ou végétaux)
- → Dans les <u>communautés microbiennes « libres »</u> de l'environnement



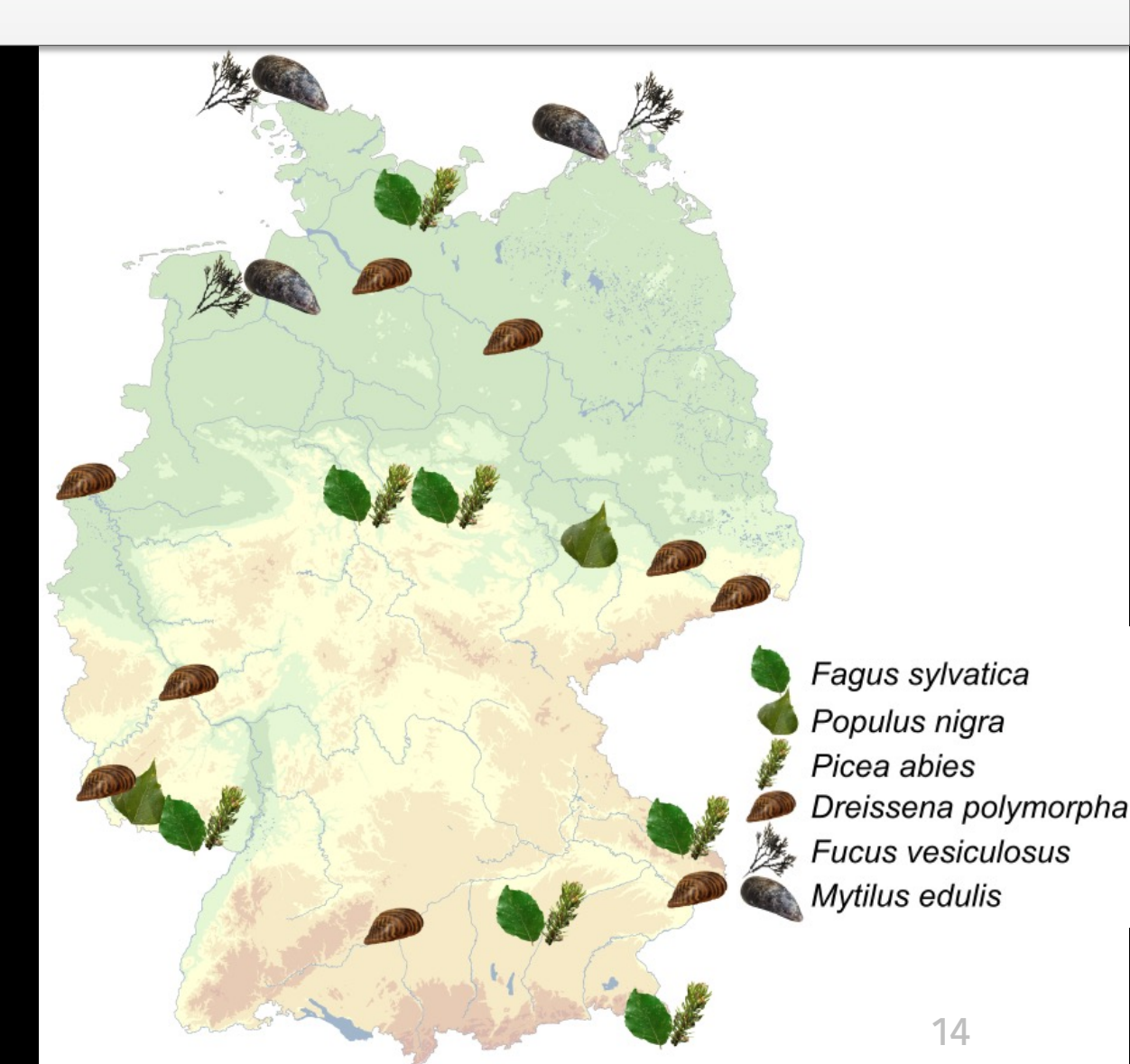


Environmental Specimen Banks (ESB)

→ milieux <u>aquatiques</u> (moules et algues)

→ milieux <u>terrestres</u> (feuilles de 3 espèces)

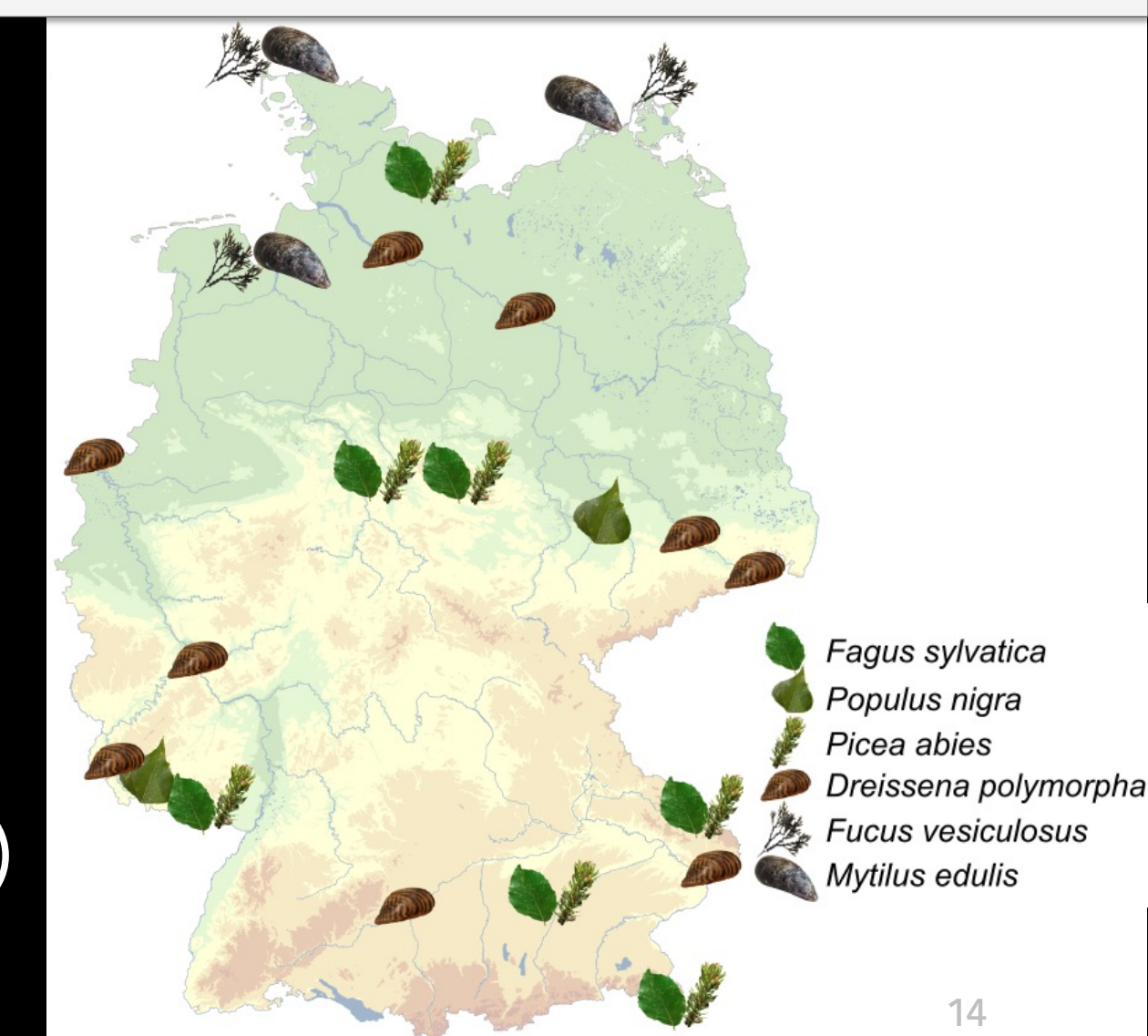
Conservés en azote liquide



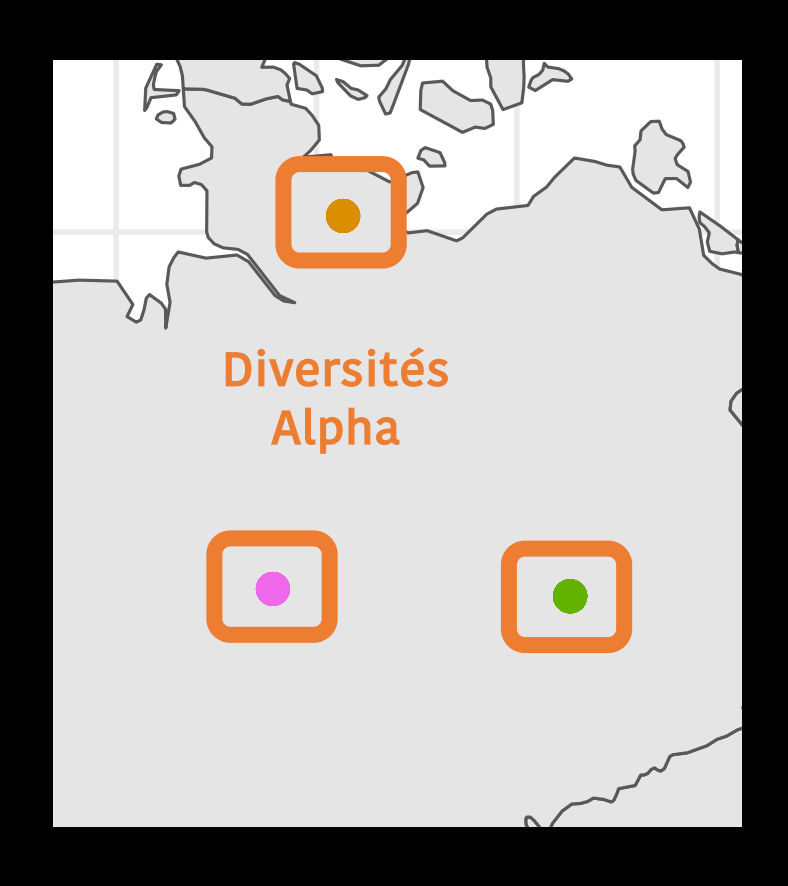
Environmental Specimen Banks (ESB)

Métabarcoding réalisé par Henrik Krehenwinkel *et al.* (Université de Trier) :

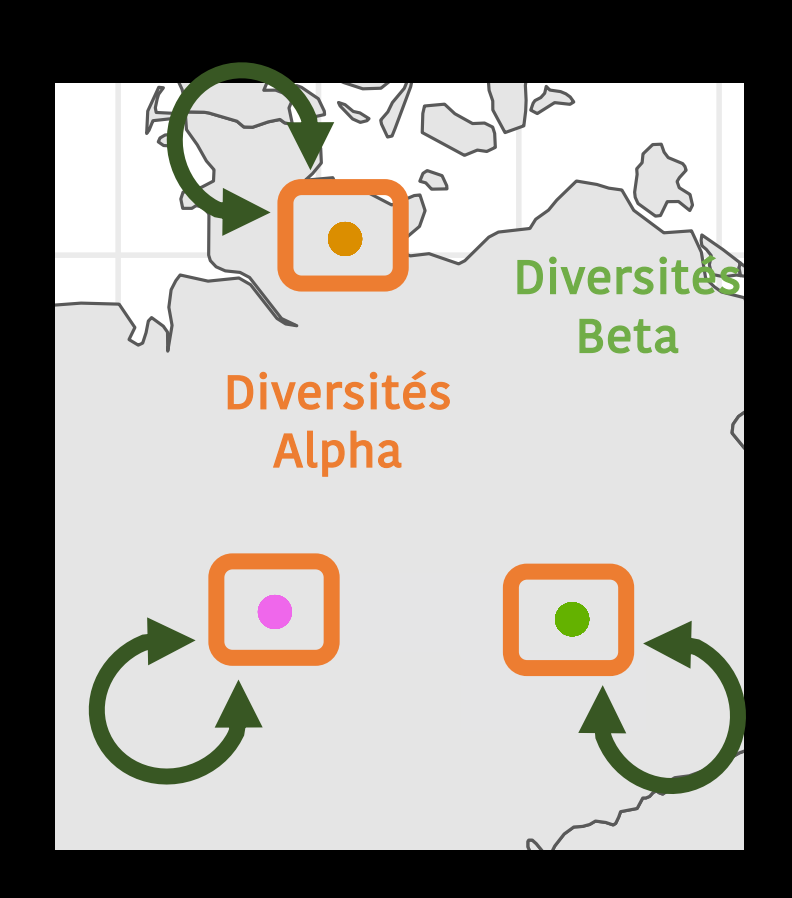
→ procaryotes (ARNr 16S)
 → micro-eucaryotes (ARNr 18S)
 → champignons (ITS)



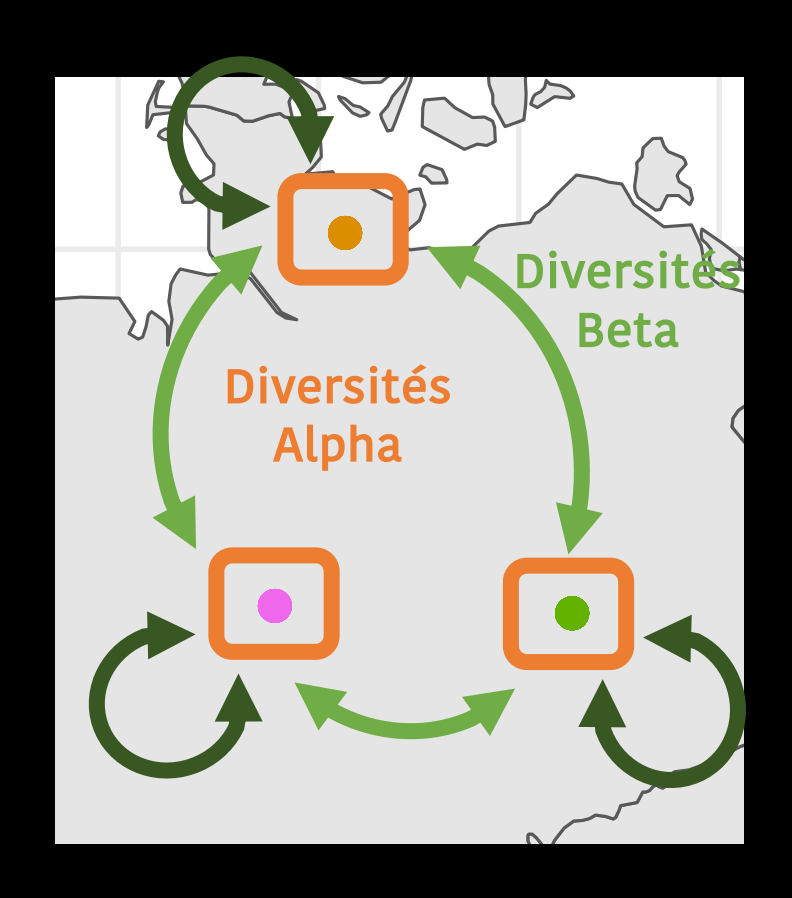
- → Diversité Alpha : Richesse en OTU
 - → diversité locale



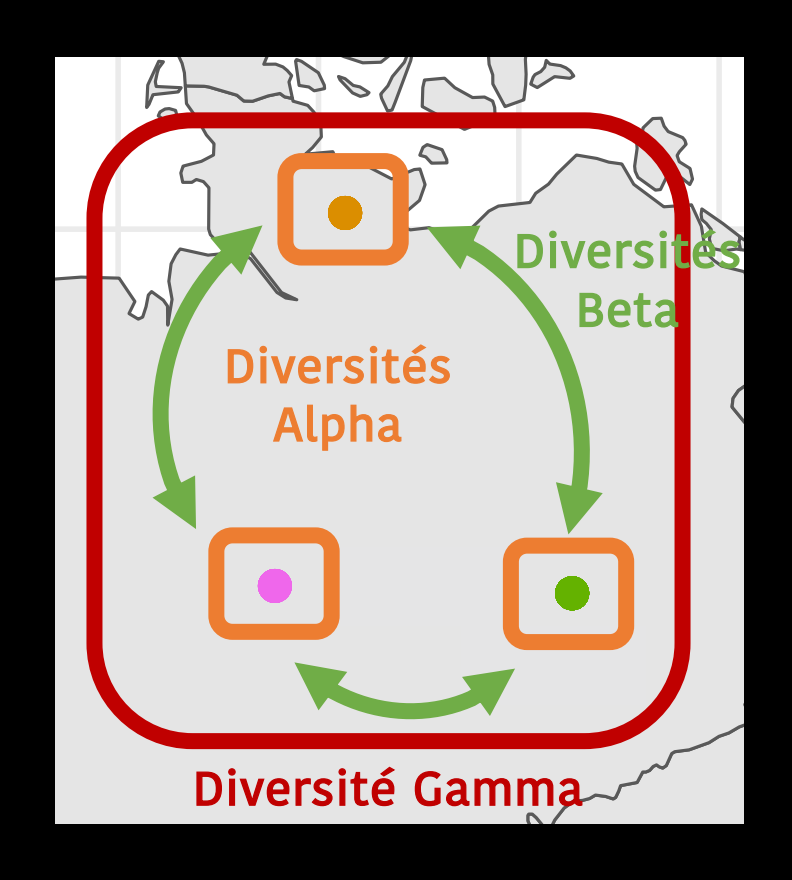
- → Diversité Alpha : Richesse en OTU
 - → diversité locale
- → Diversité Beta : Distance de Jaccard
 - → diversité compositionnelle (au cours du temps ou dans l'espace)



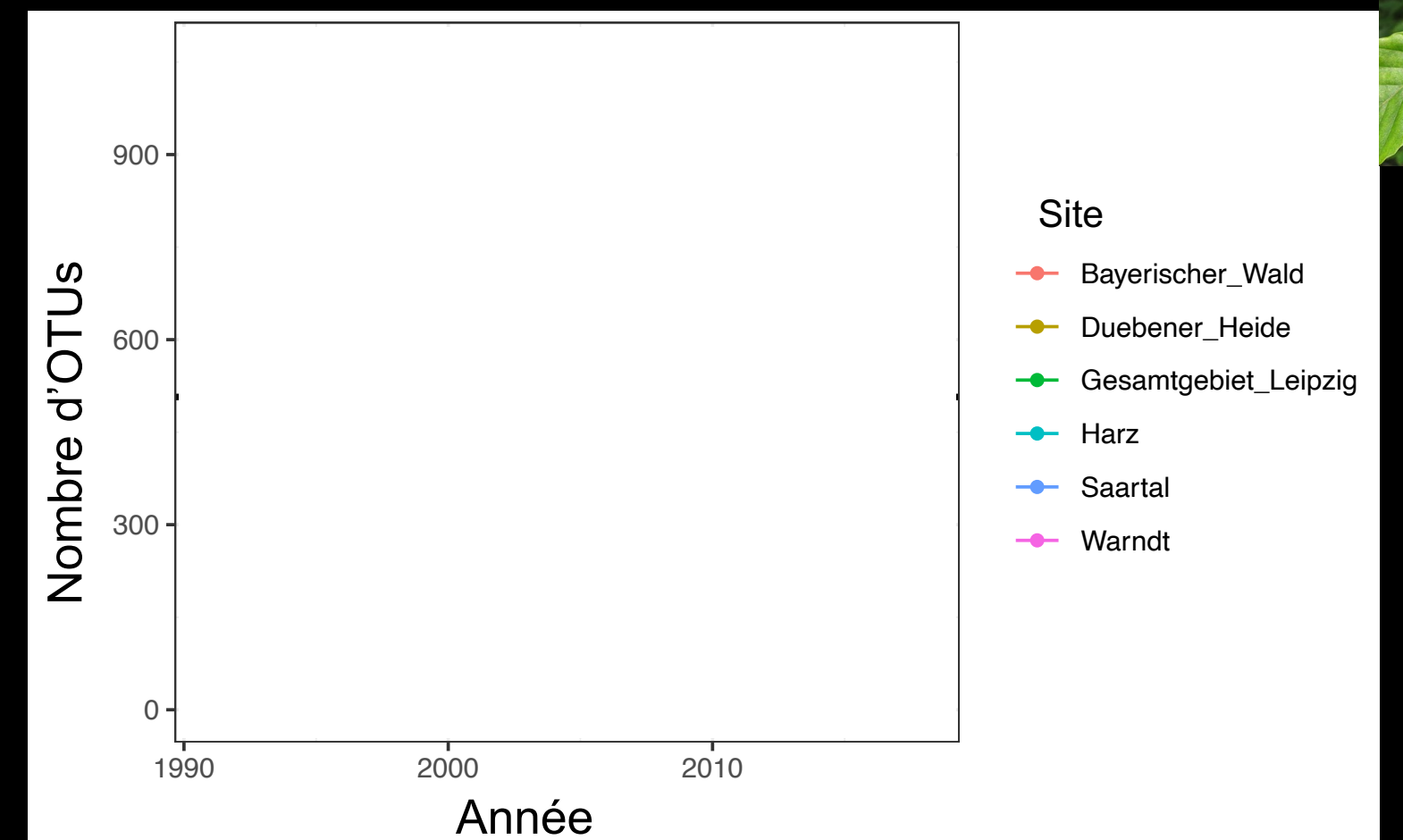
- → Diversité Alpha : Richesse en OTU
 - → diversité locale
- → Diversité Beta : Distance de Jaccard
 - → diversité compositionnelle (au cours du temps ou dans l'espace)



- → Diversité Alpha : Richesse en OTU
 - → diversité locale
- → Diversité Beta : Distance de Jaccard
 - → diversité compositionnelle (au cours du temps ou dans l'espace)
- → Diversité Gamma : bootstrapping
 - → diversité régionale

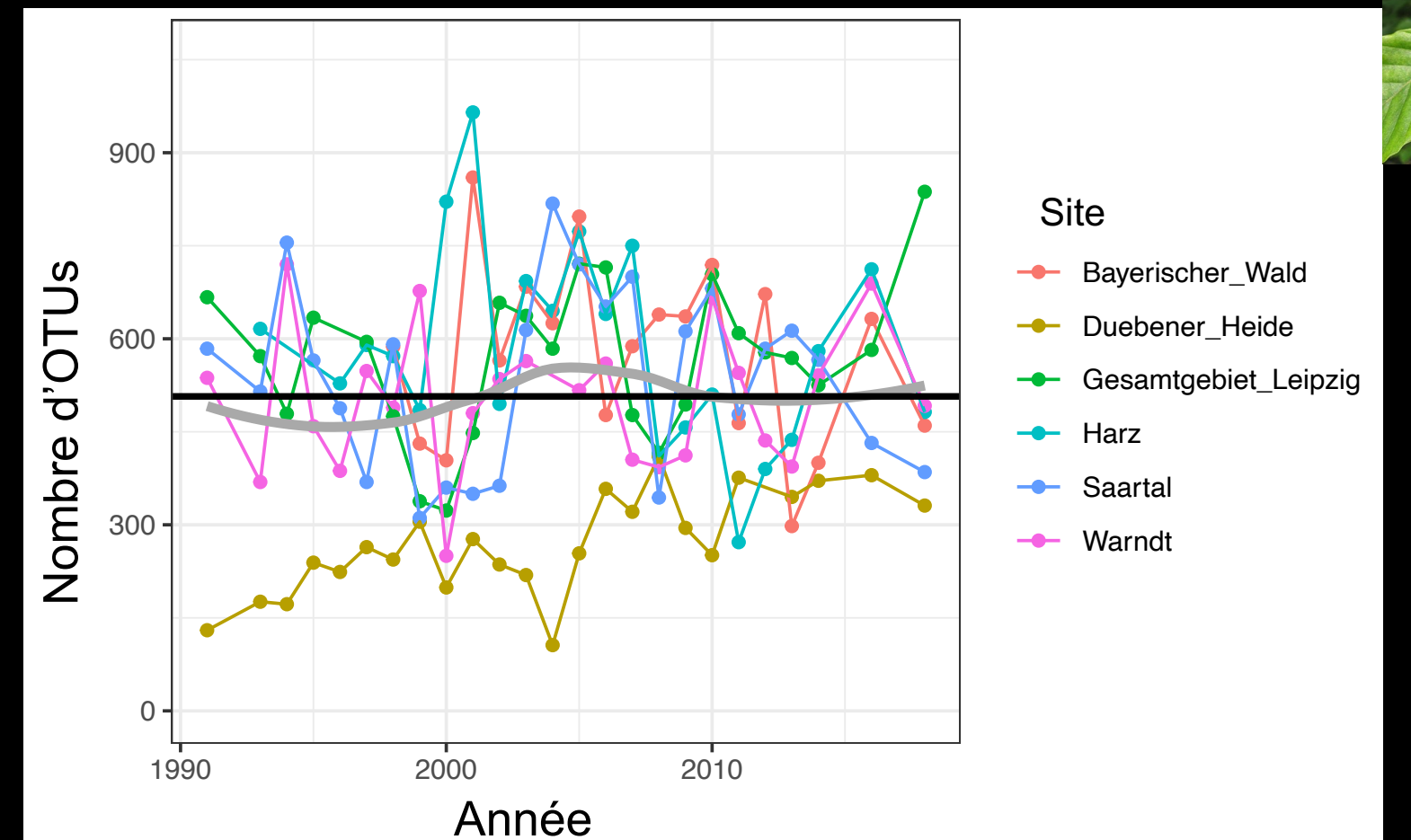








Diversité Alpha

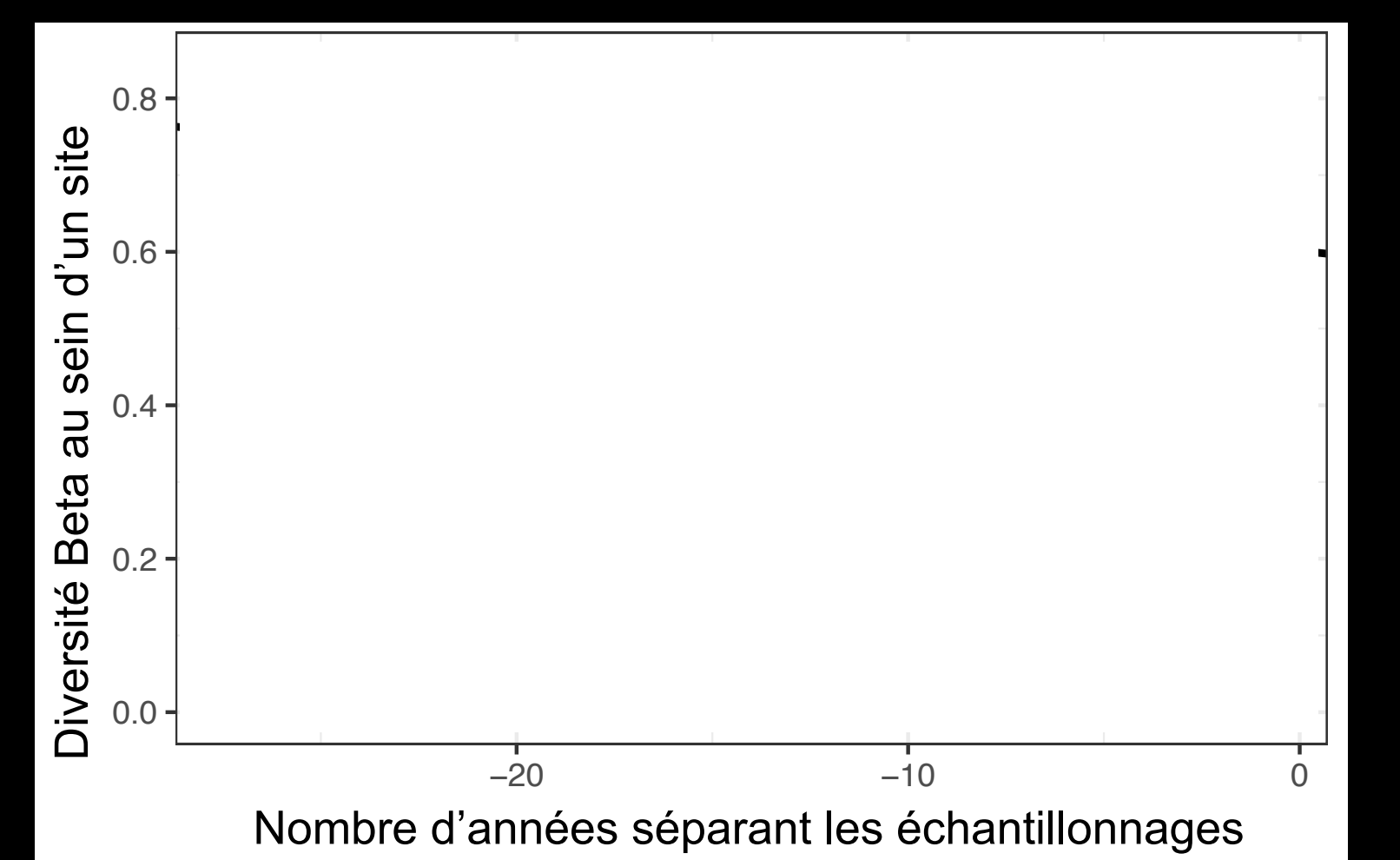


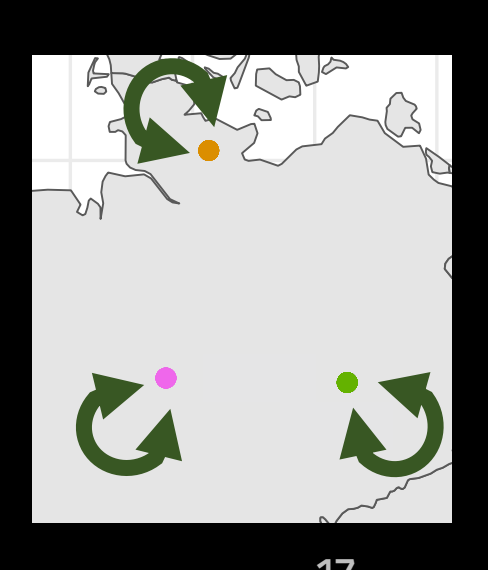


Fagus salvatica (16S – surface foliaire)

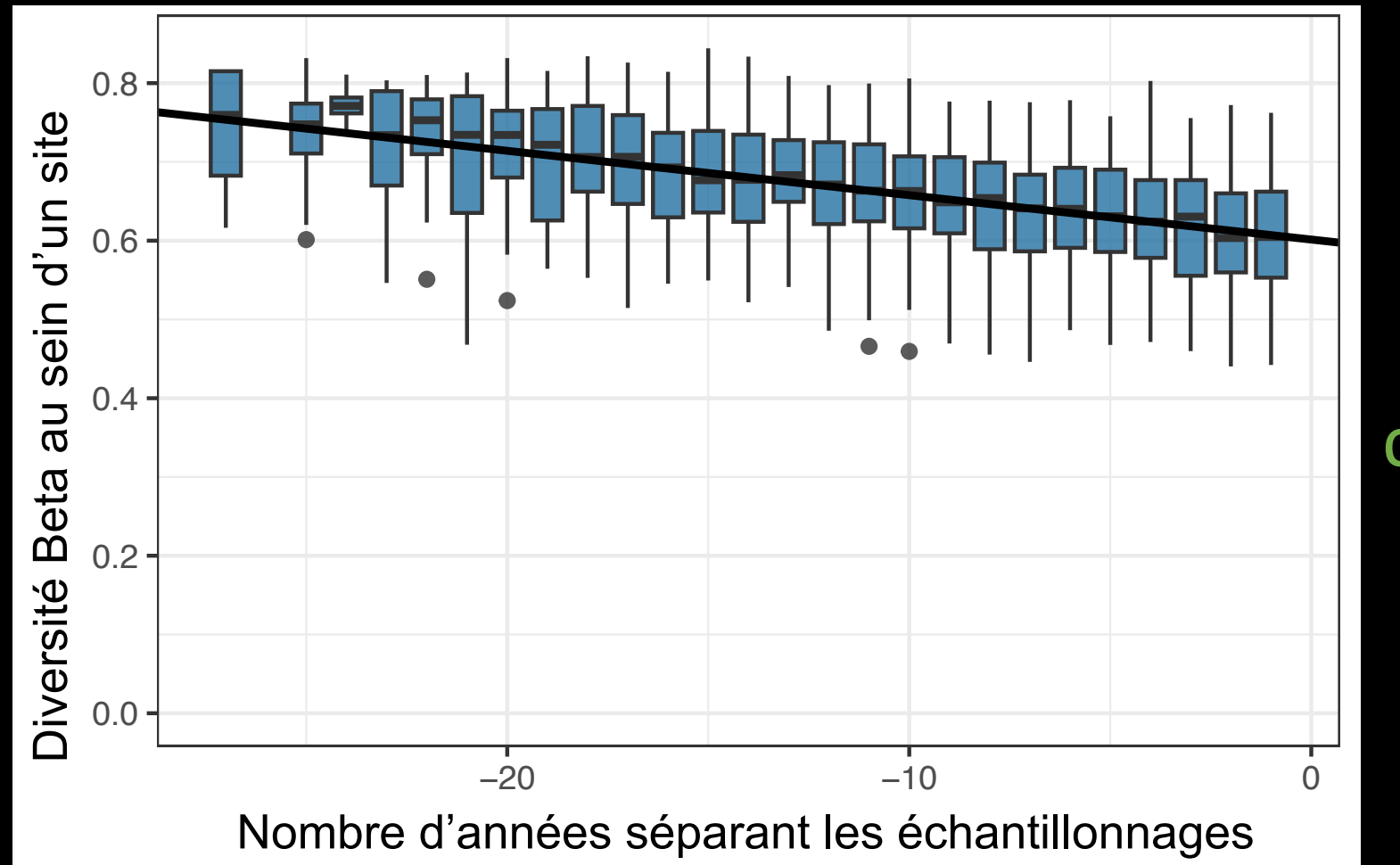
→ pas de perte de diversité locale

Diversité Beta de chaque site en fonction du temps



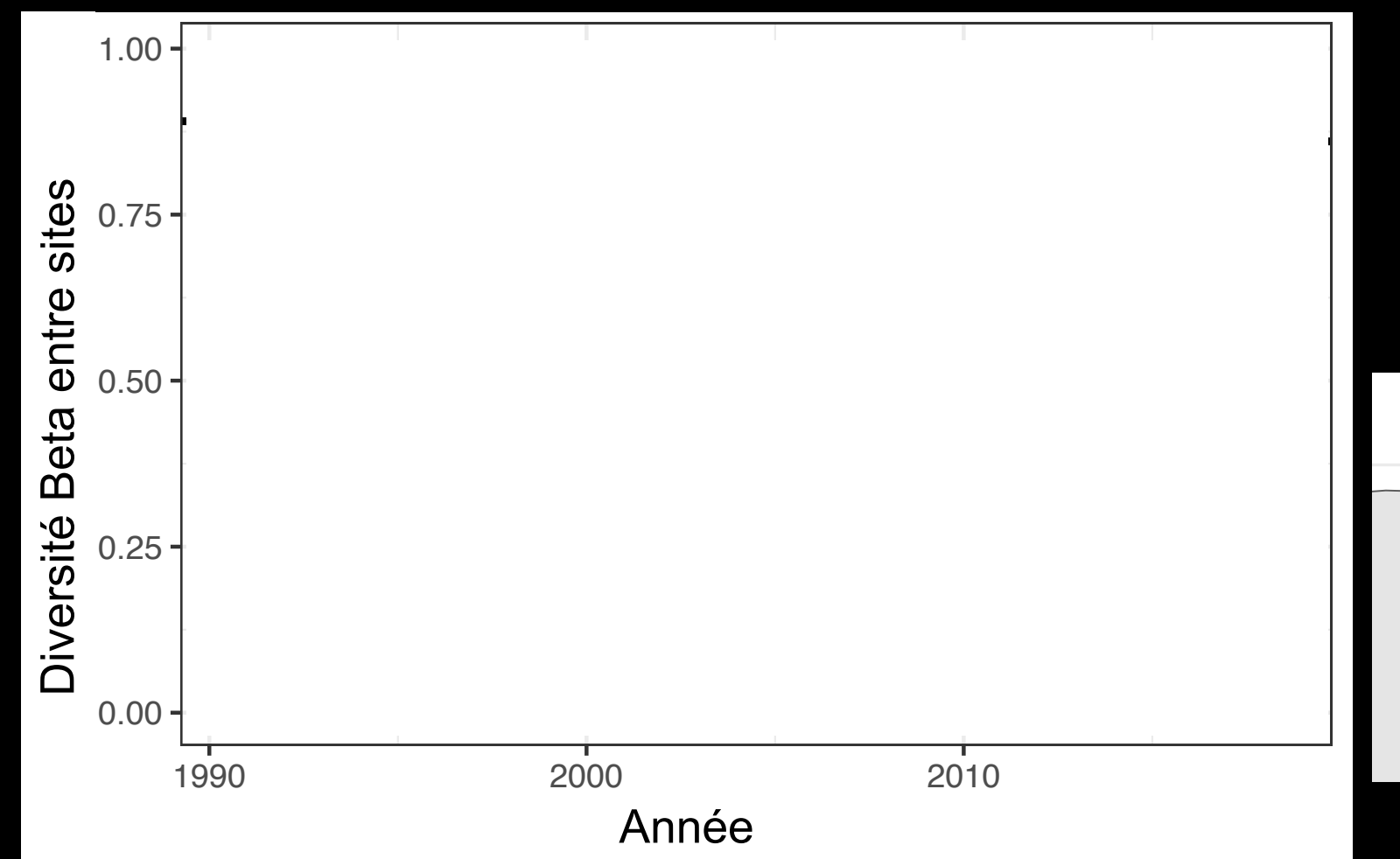


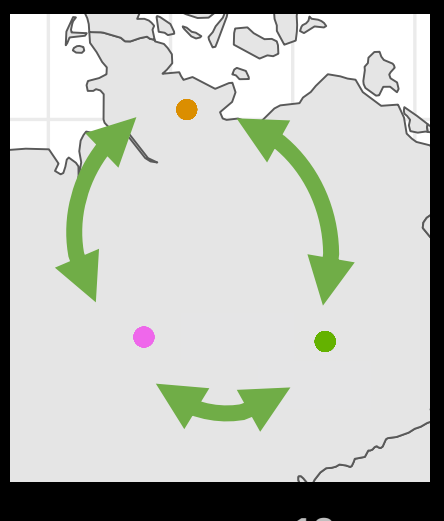
Diversité Beta de chaque site en fonction du temps



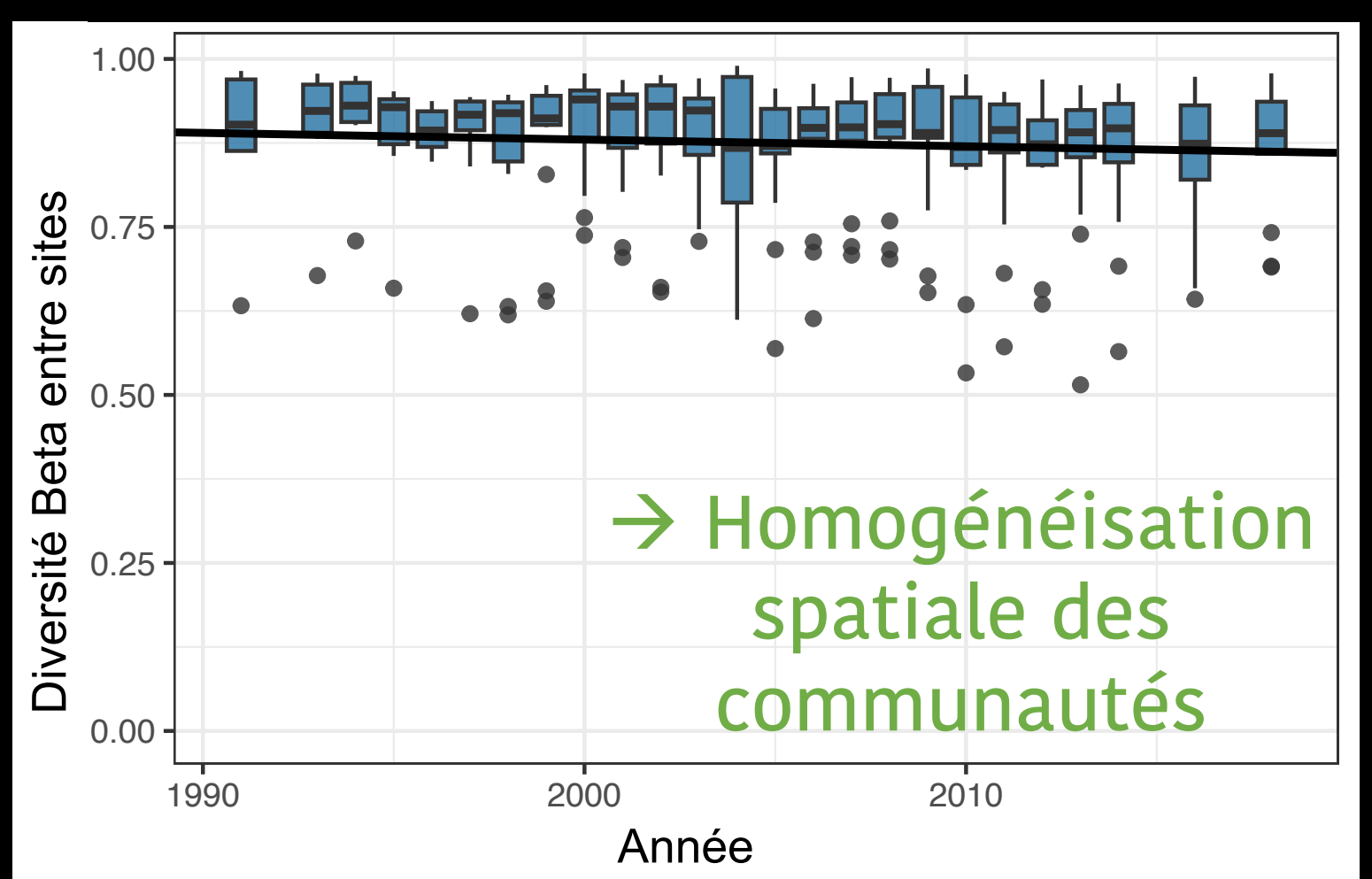
→ Changement de la composition des communautés au cours du temps

Diversité Beta entre sites au fil du temps

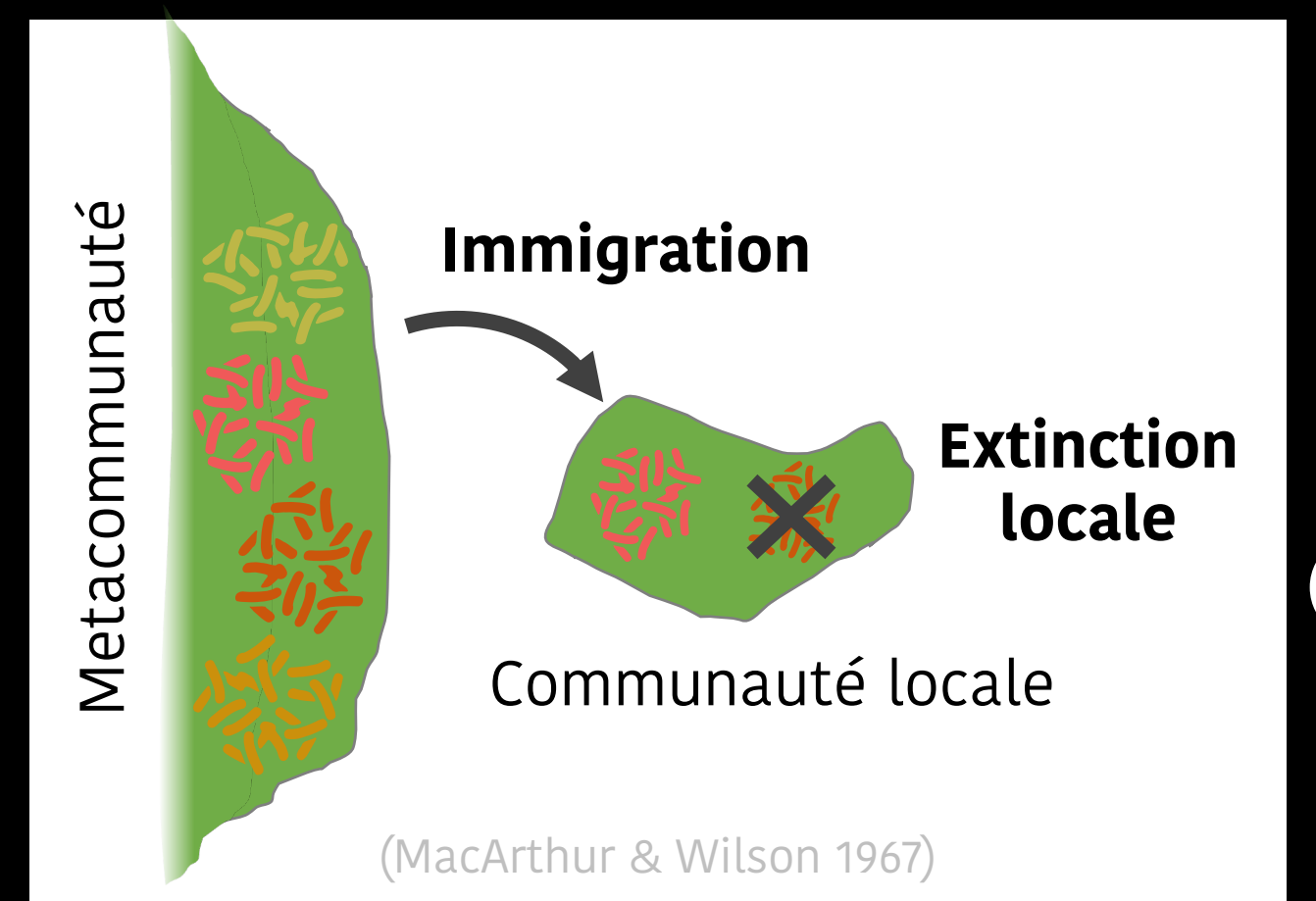




Diversité Beta entre sites au fil du temps

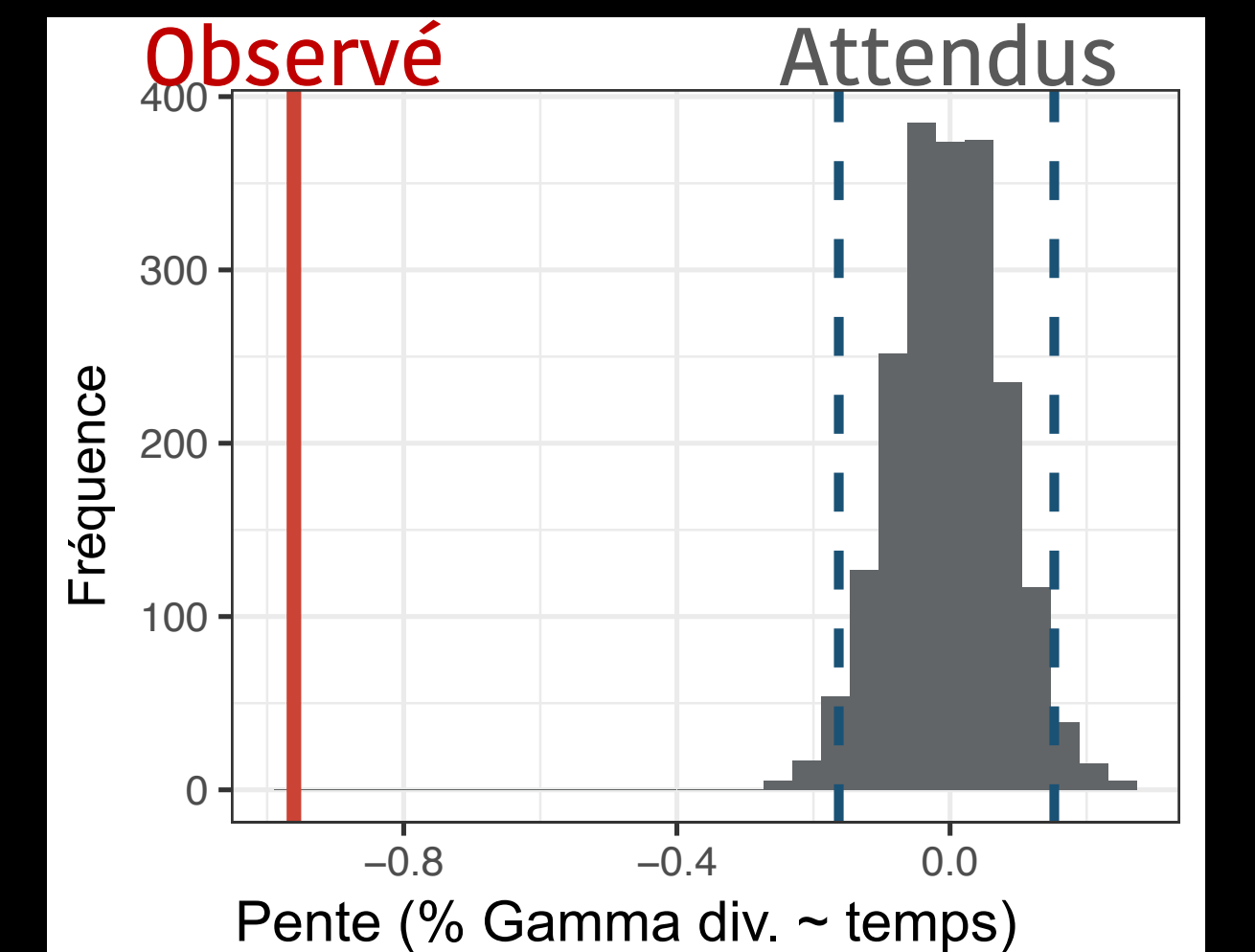


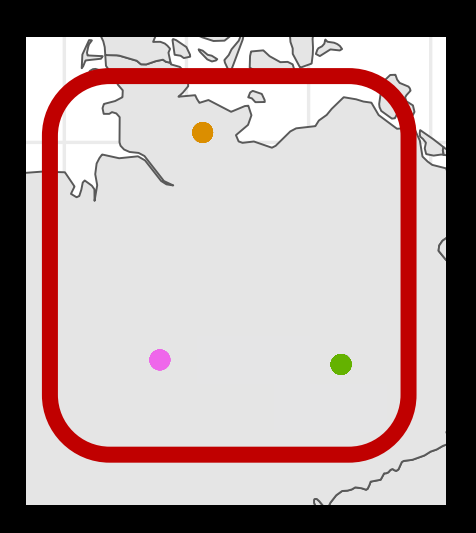
Attendus selon une modèle d'équilibre dynamique dérivé de la théorie de la biogéographie insulaire



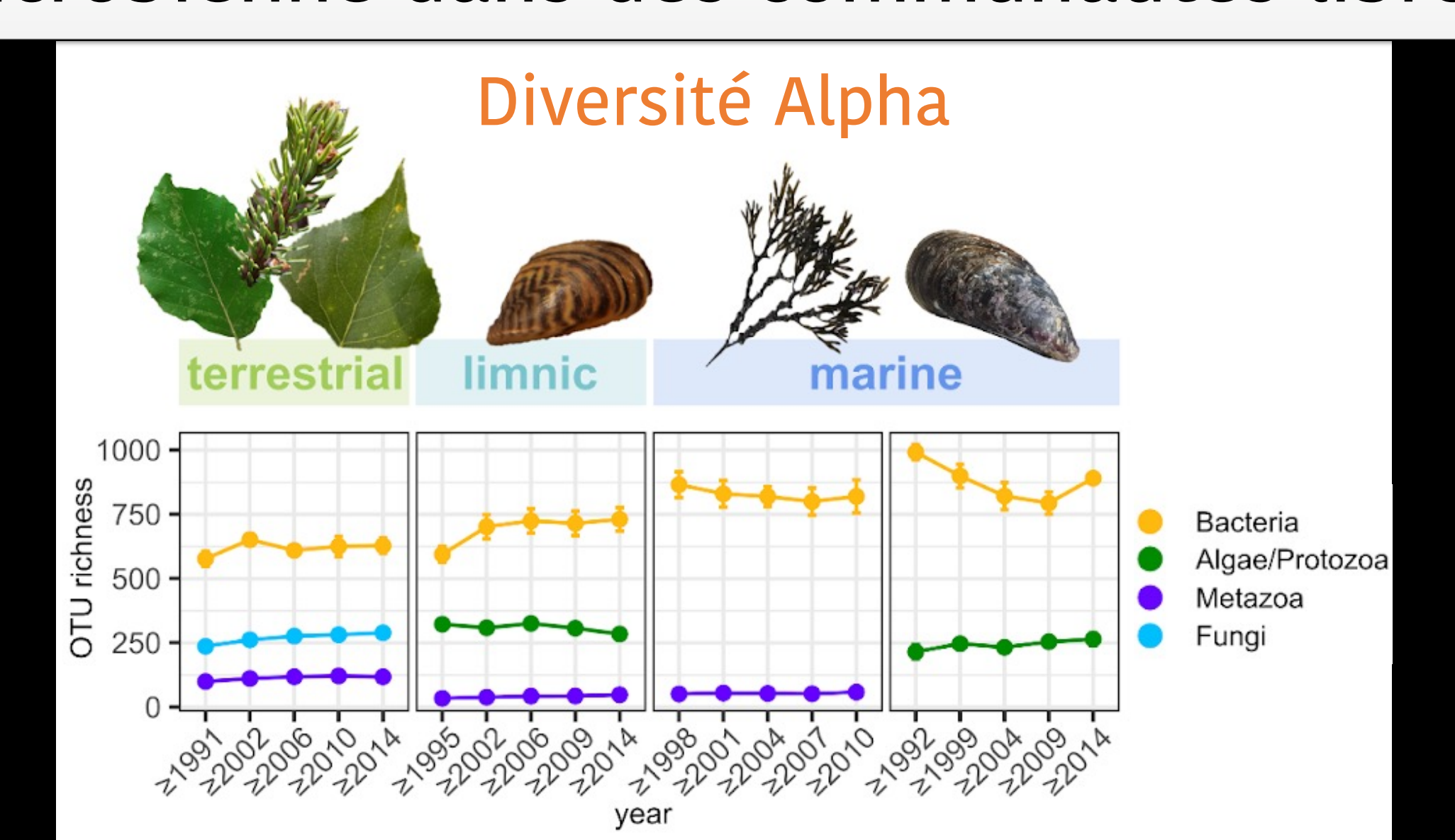
(+ Relâchement de l'hypothèse de neutralité)

Diversité Gamma au cours du temps

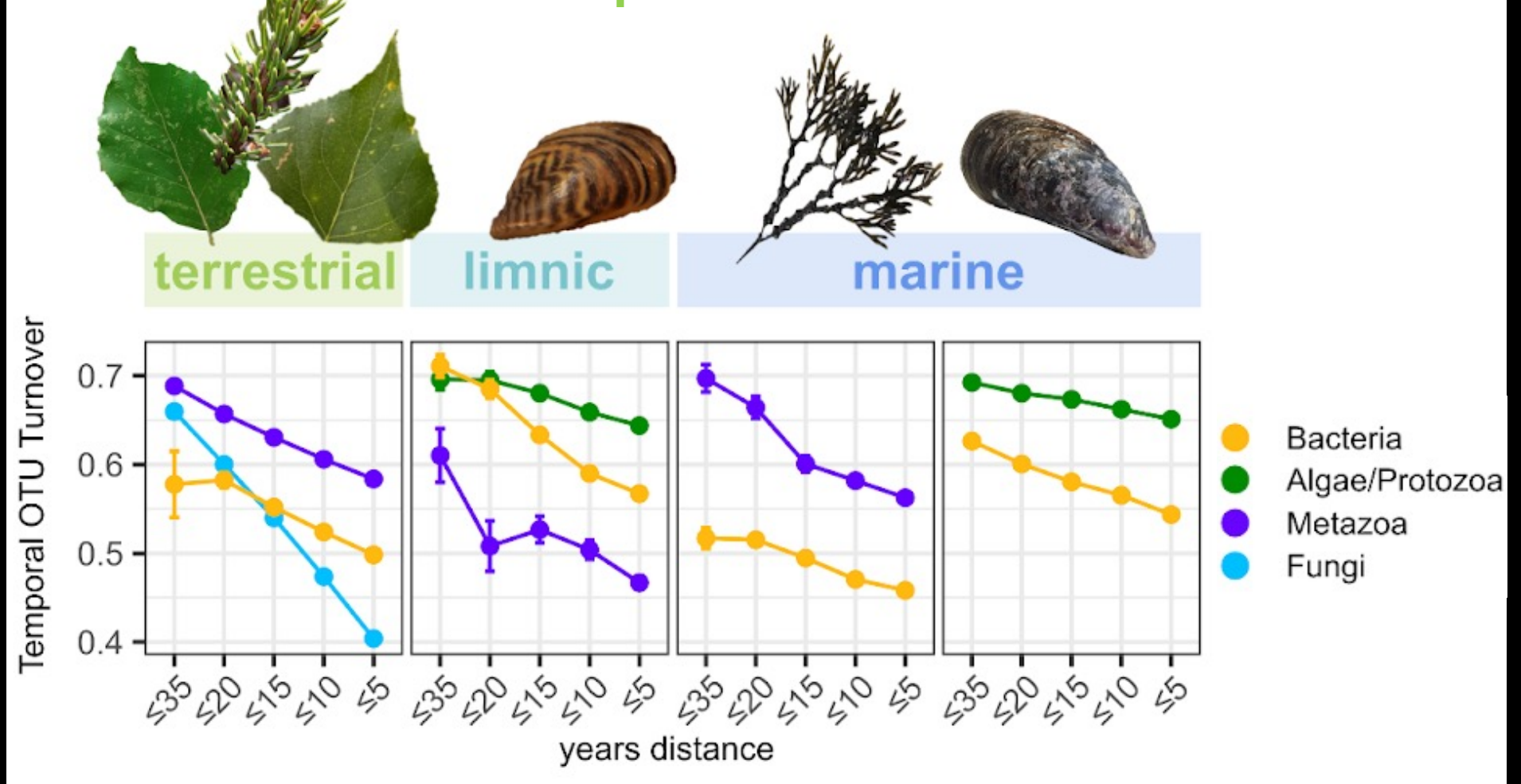


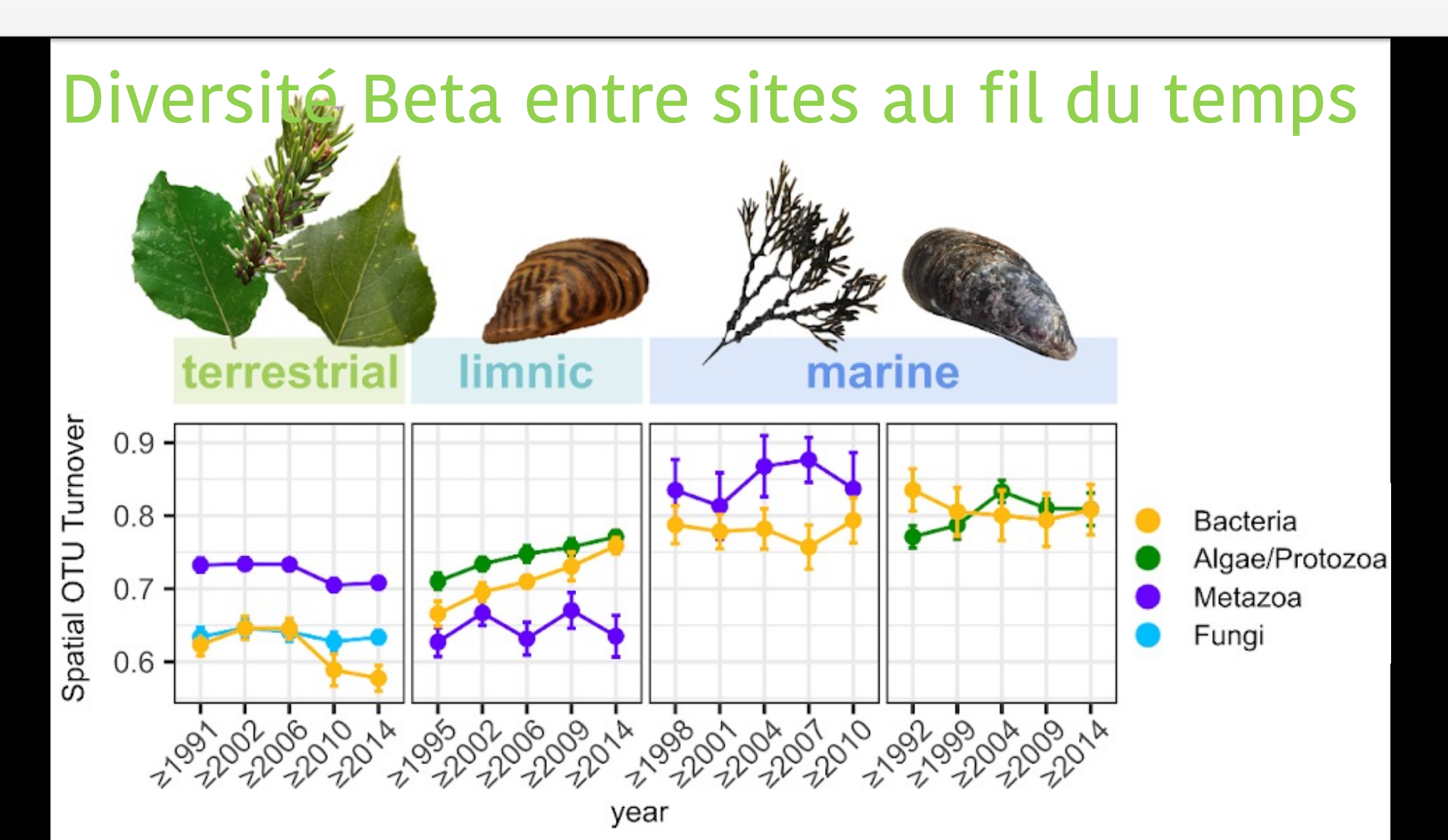


perte de diversité régionale

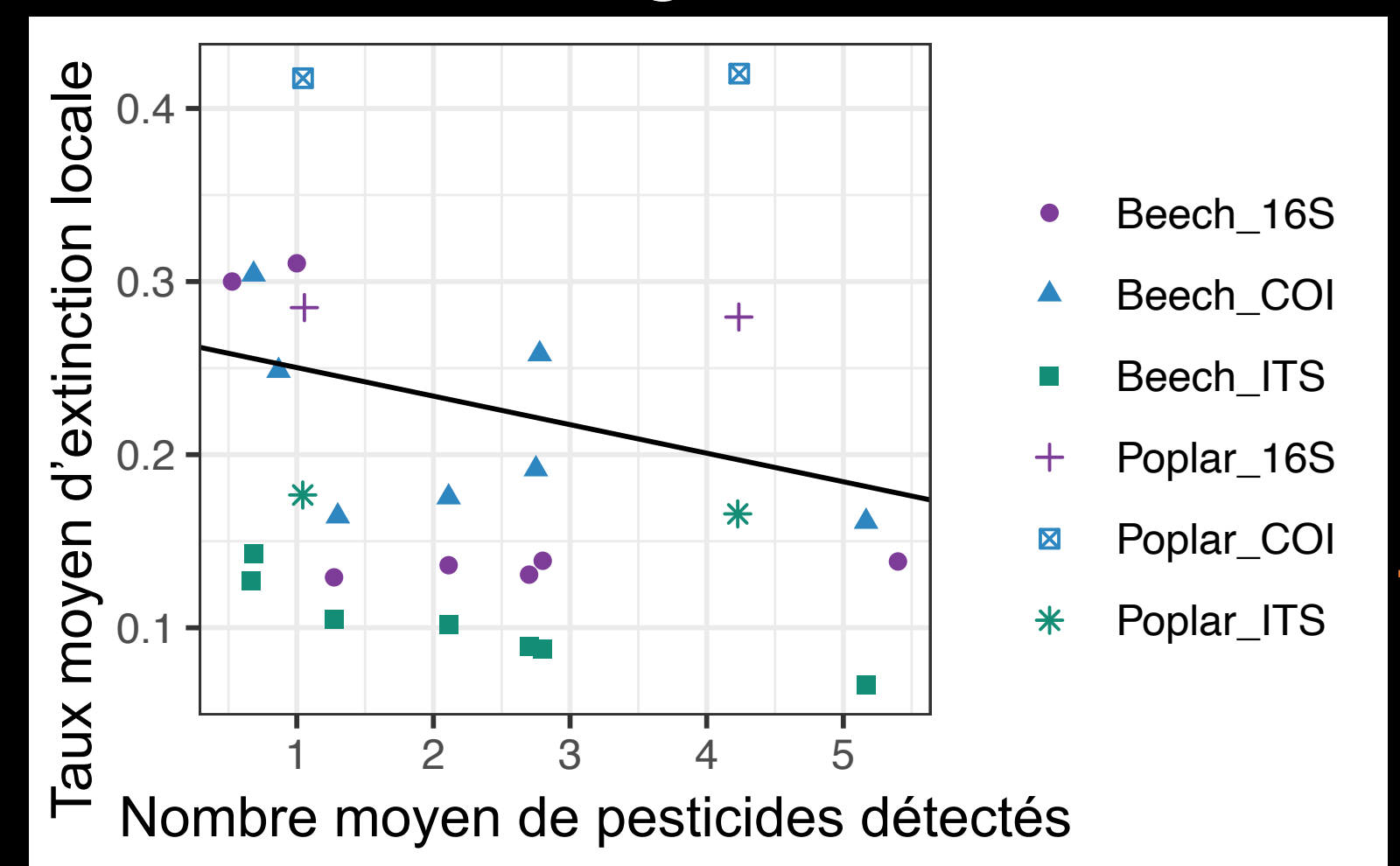


Diversité beta de chaque site en fonction du temps





Effet significatif des pesticides



 homogénéisation et réduction du turnover temporel

L'érosion de la biodiversité microbienne

→ Microbiotes associés à des hôtes : Perte de diversité chez les humains (conséquences délétères sur la santé ?)

 → Communautés microbiennes libres : Homogénéisation spatiale et perte de diversité à l'échelle régionale

Remerciements

Hélène MORLON Marc-André SELOSSE, Florent MARTOS Maarja ÖPIK Claire CHERBUY, Cassandre BEDU-FERRARI Henrik KREHENWINKEL, Isabelle JUNK, Julian HANS





Membres de l'IBENS et de l'ISYEB